

GOVERNO DO ESTADO



CEARÁ
AVANÇANDO NAS MUDANÇAS

**GOVERNO DO ESTADO DO CEARÁ
SECRETARIA DOS RECURSOS HÍDRICOS**

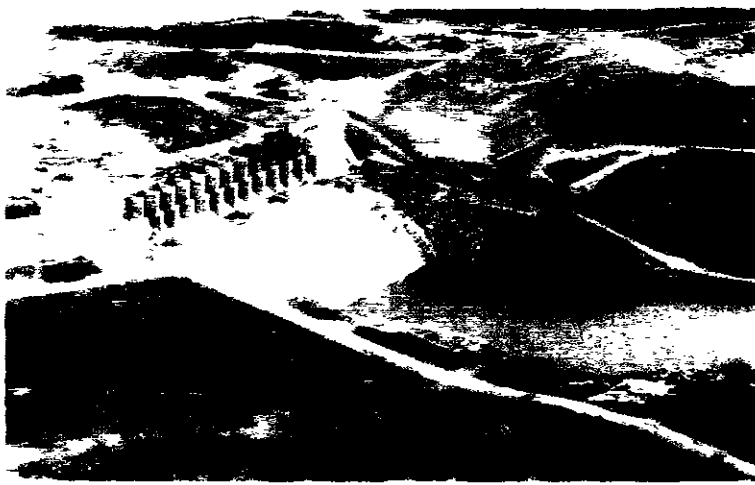
**COMPANHIA DE GESTÃO DOS RECURSOS HÍDRICOS COGERH
PROJETO DE DESENVOLVIMENTO URBANO E GESTÃO DOS RECURSOS HÍDRICOS
DO ESTADO DO CEARÁ PROURB/CE**

**PROJETO EXECUTIVO DO PARAMENTRO CENTRAL DA
BARRAGEM CASTANHÃO EM CONCRETO
COMPACTADO A ROLO**

VOLUME 3 - Memória de Cálculo

ENGEHOST

**FORTALEZA
DEZEMBRO DE 1999**



GOVERNO DO
ESTADO DO CEARÁ

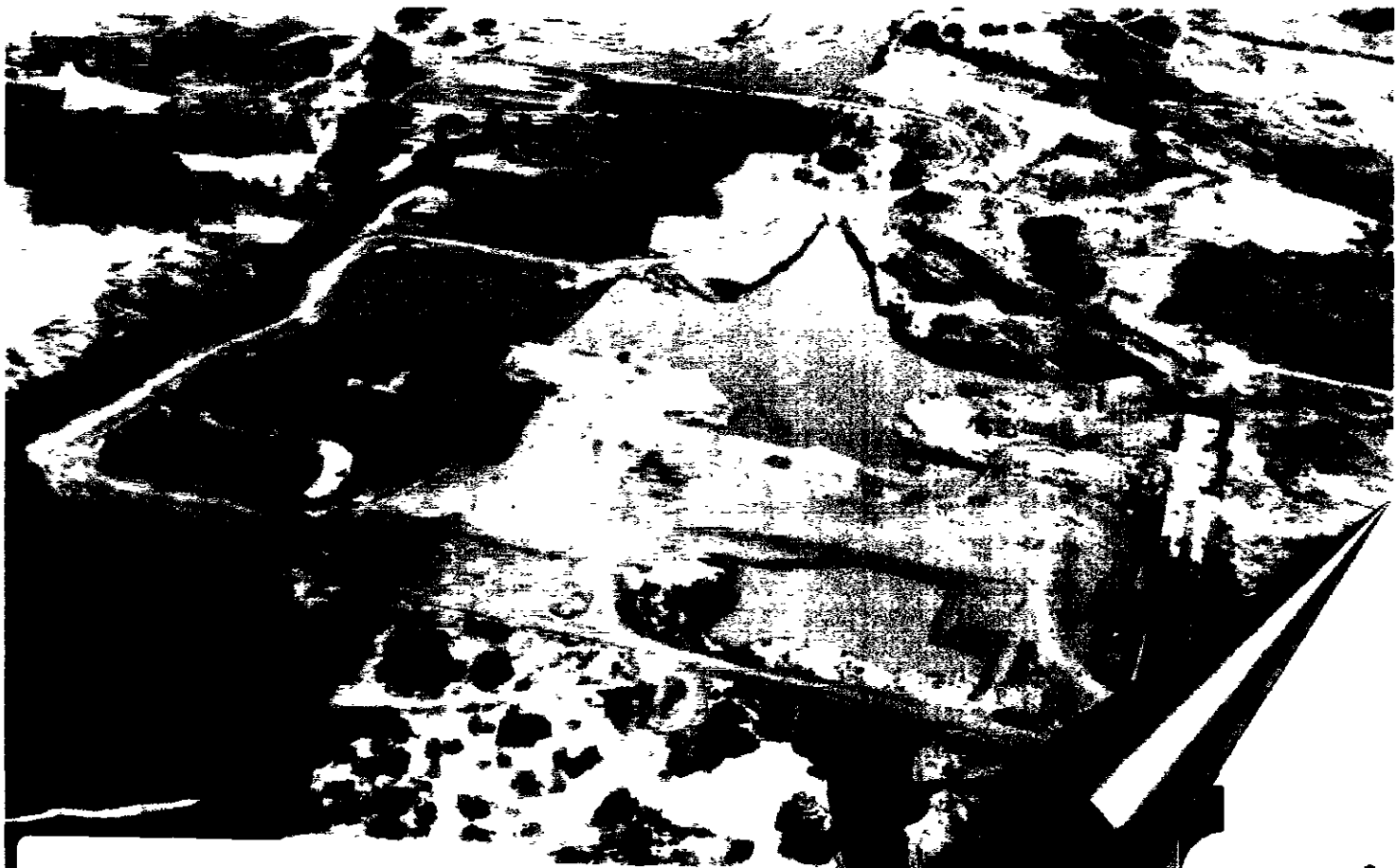


SECRETARIA DOS
RECURSOS HÍDRICOS

Contrato nº 06/99-SRH

**PROJETO EXECUTIVO DO PARAMENTO CENTRAL DA BARRAGEM
DO CASTANHÃO EM CONCRETO COMPACTADO À ROLO**

Município de Jaguaribara-CE



0133/03/C

Date 01/03/99
Prep Scan Index
Printed 33/03/99
Author _____
Title _____
Page _____
Qty 00
Qtd 00
Comments _____

EngSoft

DEZEMBRO DE 1999

Projeto Barragem Castanhão
Volume 3 - Memória de Cálculo

Projeto Barragem Castanhão
Volume 3 – Memória de Cálculo

SUMÁRIO

000004

S U M Á R I O

| | Página |
|---|--------|
| 1. INTRODUÇÃO..... | 4 |
| 2. ANÁLISE DE ESTABILIDADE DO MACIÇO DE CONCRETO | 6 |
| <i>2 1 Introdução</i> | 6 |
| <i>2 2 Geometria da seção transversal tipo</i> | 6 |
| <i>2 3 Condições de carregamento</i> | 6 |
| <i>2 4 Critérios de Análise</i> | 7 |
| <i>2 5 Resultados de Análise</i> | 7 |
| <i>2 6 Conclusões</i> | 9 |
| 3. CALCULO HIDROLÓGICO E HIDRAULICO PARA O DIMENSIONAMENTO DA ENSECADEIRA DO CASTANHÃO | 34 |
| <i>3 1 Introdução</i> | 34 |
| <i>3 2 Aspectos Hidrológicos</i> | 35 |
| <i>3 3 Os Estudos Hidráulicos da Seção Estrangulada</i> | 37 |
| <i>3 4 Os Aspectos Ambientais</i> | 38 |
| <i>3 5 Considerações Finais e Conclusões</i> | 38 |
| 4. DIMENSIONAMENTO DA GALERIA DE DESCARGA..... | 40 |
| <i>4 1 Escoamento Pela Galeria da Tomada D'água</i> | 40 |
| <i>4 2 Escoamento Pela Galeria da Descarga de Fundo</i> | 41 |
| <i>4 3 Conclusões</i> | 42 |

1. INTRODUÇÃO

1. INTRODUÇÃO

A Engesoft- Engenharia e Consultoria S/C Ltda vem apresentar à SRH o **VOLUME 3** **Memória de Cálculo** do Projeto Executivo do Paramento Central da Barragem do Castanhão, em concreto compactado com rolo, no município de Jaguaribara-CE, conforme o contrato n º 06/99-SRH

O presente relatório apresenta as memórias de cálculo, as planilhas com os resultados obtidos, os gráficos e as conclusões com recomendações da análise da estabilidade do maciço de concreto, sob todas as possíveis situações de carregamento, e o dos estudos hidrológicos-hidráulicos para desvio do rio e dimensionamento das enseadeiras

2. ANÁLISE DE ESTABILIDADE DO MACIÇO DE CONCRETO

2. ANÁLISE DE ESTABILIDADE DO MACIÇO DE CONCRETO

2.1. INTRODUÇÃO

A análise da estabilidade da seção proposta para a barragem de CCR foi realizada para a verificação da compatibilidade da seção transversal projetada com os critérios de estabilidade, sob todas as condições de carregamento.

A análise foi excetuada pelo método bidimensional do equilíbrio unitário usando uma rotina em Excel desenvolvida especialmente para barragens de gravidade de concreto. As solicitações sísmicas para a análise foram calculadas pelo Método Simplificado de Chopra¹.

2.2. GEOMETRIA DA SEÇÃO TRANSVERSAL TIPO

A seção transversal proposta é típica de barragem de gravidade, com o paramento de montante vertical e talude de jusante com uma inclinação de 0,75 (H):1 00 (V). O ponto de interseção da face de montante com o prolongamento da linha do talude de jusante está na cota 111,00. A largura da crista do barramento tem 7,0 m, a fundação na seção máxima da barragem é considerada na cota 43,00 e, portanto, a altura máxima da barragem é de 68,00 m.

Uma galeria de drenagem e injeções foi indicada na região inferior da seção, o mais próximo da superfície da fundação rochosa que a prática da engenharia recomenda.

A galeria, com 2,0 m de largura e 2,50 m de altura, foi idealizada com sua parede de montante distando 5,0 m da face do paramento de montante da barragem. A linha dos drenos da fundação foi considerada a 6,50 m do pé de montante da barragem.

Uma seção com altura intermediária também foi analisada, para as mais críticas condições de carregamento, com o objetivo de determinar a redução na coesão necessária para as situações de cotas elevadas. Uma seção transversal com fundação na cota 62,00 (cerca de 2/3 da seção de maior altura) foi selecionada para essa análise.

2.3. CONDIÇÕES DE CARREGAMENTO

¹ Chopra, Anil K "Earthquake Resistant Design of Concrete Gravity Dams" Journal of the Structural division, ASCE, June 1978

Condições de Carregamento

| Caso nº | Descrição | Cota do nível d'água no reservatório | Cota do nível d'água à jusante | Cota do topo do sedimento |
|----------------|--|--------------------------------------|--------------------------------|---------------------------|
| 1 | Nível normal de funcionamento do reservatório | 100,00 | 53,00 | 57,00 |
| 1 ^a | Nível máximo para o controle das enchentes (topo das comportas) | 106,00 | 53,00 | 57,00 |
| 2 | Nível na máxima enchente provável | 110,00 | 53,50 | 57,00 |
| 3 | Nível máximo para o controle das enchentes e sismo com aceleração horizontal de 0,07 g | 106,00 | 53,00 | 57,00 |
| 2 ^a | Nível na máxima enchente provável - Dreno não operativo | 110,00 | 53,50 | 57,00 |

Os efeitos de sub-pressão foram considerados em todas as condições de carregamento. A intensidade da sub-pressão foi considerada variável ao longo da base da barragem, sendo igual a pressão total da coluna d'água do reservatório no pé de montante, igual a 1/3 da diferença entre o nível do reservatório e o da lâmina d'água de jusante na linha dos drenos e igual a pressão da lâmina de jusante no pé de jusante da barragem. Entre esse pontos a variação foi admitida linear.

Para uma situação limite dos drenos não funcionarem durante a Enchente Máxima Provável, foi considerada uma sub-pressão igual a lâmina de montante até onde surgem esforços de tração, ou seja onde podem ocorrer trincas, e a partir desse ponto a sub-pressão variando linearmente até o nível de jusante.

2.4. CRITÉRIOS DE ANÁLISE

- Peso específico do concreto = 2,352 t/m³
- Peso específico do sedimento = 1,70 t/m³
- Modulo de Elasticidade do concreto = 20,000 MPa
- Aceleração devido a abalos sísmicas – Horizontal = 0,07g
Vertical = 0,047 g (2/3 da horizontal)

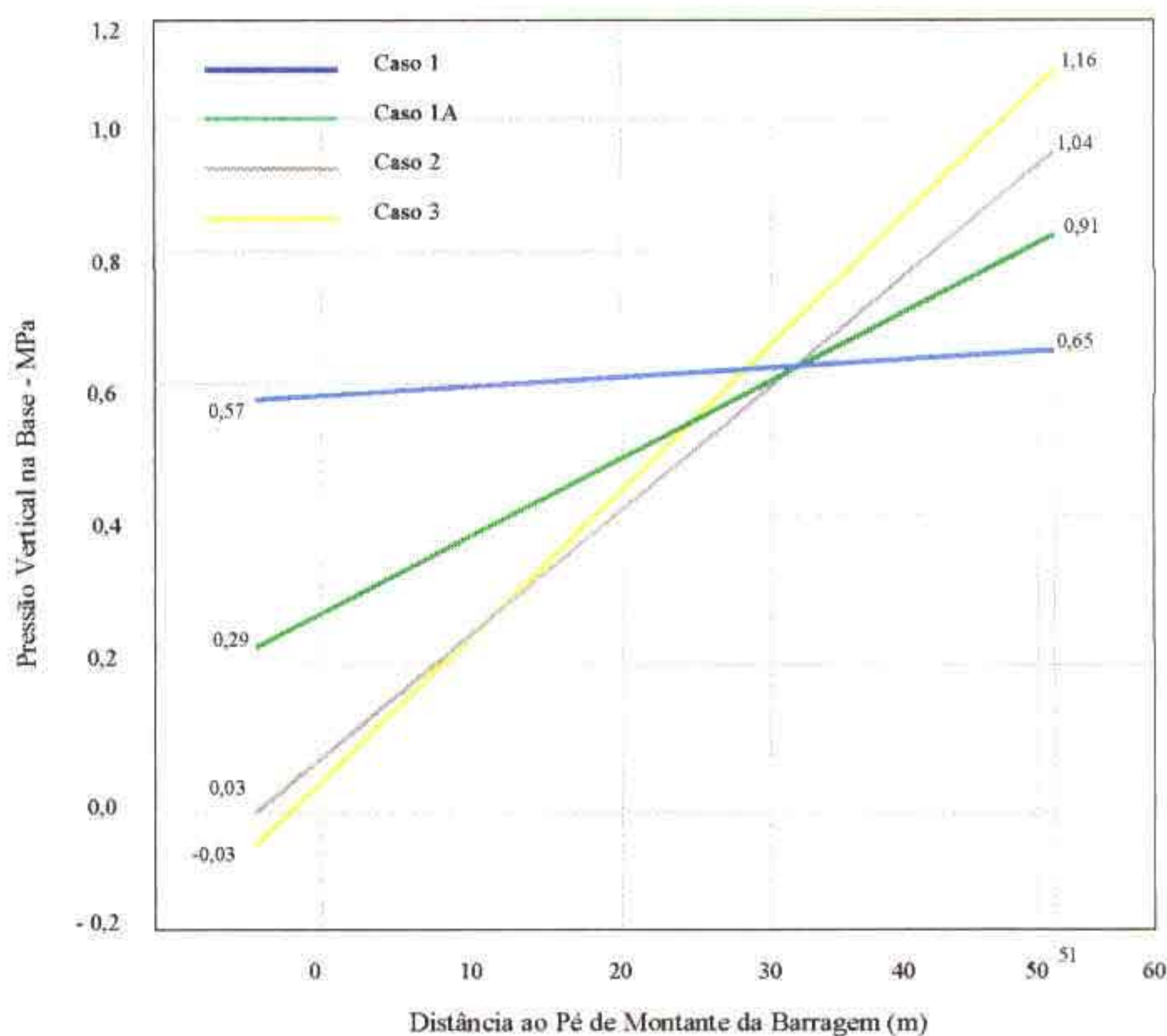
2.5. RESULTADOS DE ANÁLISE

A tabela seguinte resume os resultados da análise de estabilidade da seção máxima da barragem e de uma seção intermediária para várias condições de carregamento. Tensões verticais atuantes nos pés de montante e jusante da barragem também são apresentadas na Tabela, assim como as coesões exigidas. Os valores das coesões são os necessários para se obter fatores de segurança coerentes para as várias condições de carregamento, considerando um ângulo de atrito de 45°.

| Caso nº | Descrição | Tensões Admissíveis (MPa) | Fator de Segurança | Coesão (MPa) * |
|-------------------------------|--|---------------------------|--------------------|---------------------|
| | | Montante | Jusante | |
| Fundação na Cota 45,00 | | | | |
| 1 | Nível normal de funcionamento do reservatório | 0,57 | 0,65 | 3,0 |
| 1A | Nível máximo para o controle das enchentes (nível das comportas) | 0,29 | 0,91 | 3,0 |
| 2 | Nível na máxima enchente provável | 0,03 | 1,04 | 2,0 |
| 2A | Nível máximo para o controle das enchentes e sismo com aceleração horizontal de 0,07 g | 0,03 | 1,16 | 1,24 |
| 2A | Nível na máxima enchente provável - Dreno não operante | 0,00 | 0,25 | 1,34 flutuação 1,00 |
| Fundação na Cota 65,00 | | | | |
| 1B | Nível máximo para o controle das enchentes (nível das comportas) | 0,30 | 0,99 | 3,0 |
| 3 | Nível máximo para o controle das enchentes e sismo com aceleração horizontal de 0,07 g | 0,06 | 0,78 | 1,47 |
| | | | | 0,00 |

* Coesão necessária para a obtenção do fator de segurança proposto e $\phi=45^\circ$

A distribuição das tensões na base da barragem, na seção máxima, para as várias condições de carregamento é apresentada na Figura seguinte:



2.6. CONCLUSÕES

- A seção transversal proposta para a barragem de CCR atende os critérios de estabilidade para todas as condições de carregamento admitidas.
- As tensões máximas atuante no pé de montante da barragem variam de 1,16 a 0,65 MPa. Considerando os fatores de segurança apropriados, um traço de concreto CCR com resistência a compressão de cerca de 4,0 MPa seria teoricamente suficiente para atender as solicitações de compressão. Este valor é bem inferior a resistência a compressão proposto para a mistura de CCR projetada.
- Tensões de tração não se desenvolvem na base da barragem com excessão de insignificantes parcelas no pé de montante da barragem, calculadas em 0,03 MPa, sob a condição de máxima enchente provável e de abalo sísmico de 0,07 g de aceleração horizontal.
- Considerando um ângulo de atrito (ϕ) de 45º, a coesão máxima necessária no contanto com a fundação rochosa e no concreto próximo da base da barragem é cerca de 0,6

MPa, um traço de CCR projetado para uma resistência a compressão maior que 6 MPa provavelmente exibirá uma coesão maior que esse valor

- e) Para uma enchente máxima provável foi simulada a situação limite dos drenos não operantes e verificada a segurança à flutuante do maciço. Obteve-se um fator de 1,31, praticamente igual ao valor mínimo de 1,30 admitido para esse carregamento. No entanto, nessa situação foram verificadas tensões de tração até uma distância de 37,04 m a partir da face de montante, o que considerando a possibilidade de ocorrência de trincas até esse limite, proporcionou fator de segurança de 1,00 para coesão do concreto CCR de 0,69 MPa e ângulo de atrito de 45°. Para assegurar um fator de segurança mínimo de 1,00, valor esse sugerido pelo USBR, deve-se adotar um concreto com uma coesão maior que 0,70 MPa, ou seja um traço com resistência a compressão entre 8 e 10 MPa
- f) No nível intermediário, cota 65,00, a coesão necessária no contacto com a fundação e no concreto próximo da base da barragem reduz-se a 0,3 MPa, o que poderia propiciar a adoção de uma resistência menor do traço do CCR para a barragem em cota superiores a essa
- g) A rocha de fundação é de boa qualidade e a coesão no contacto com a fundação deverá ser igual ou melhor do que no corpo da barragem, caso o contacto da fundação seja preparado adequadamente e de acordo com as especificações.

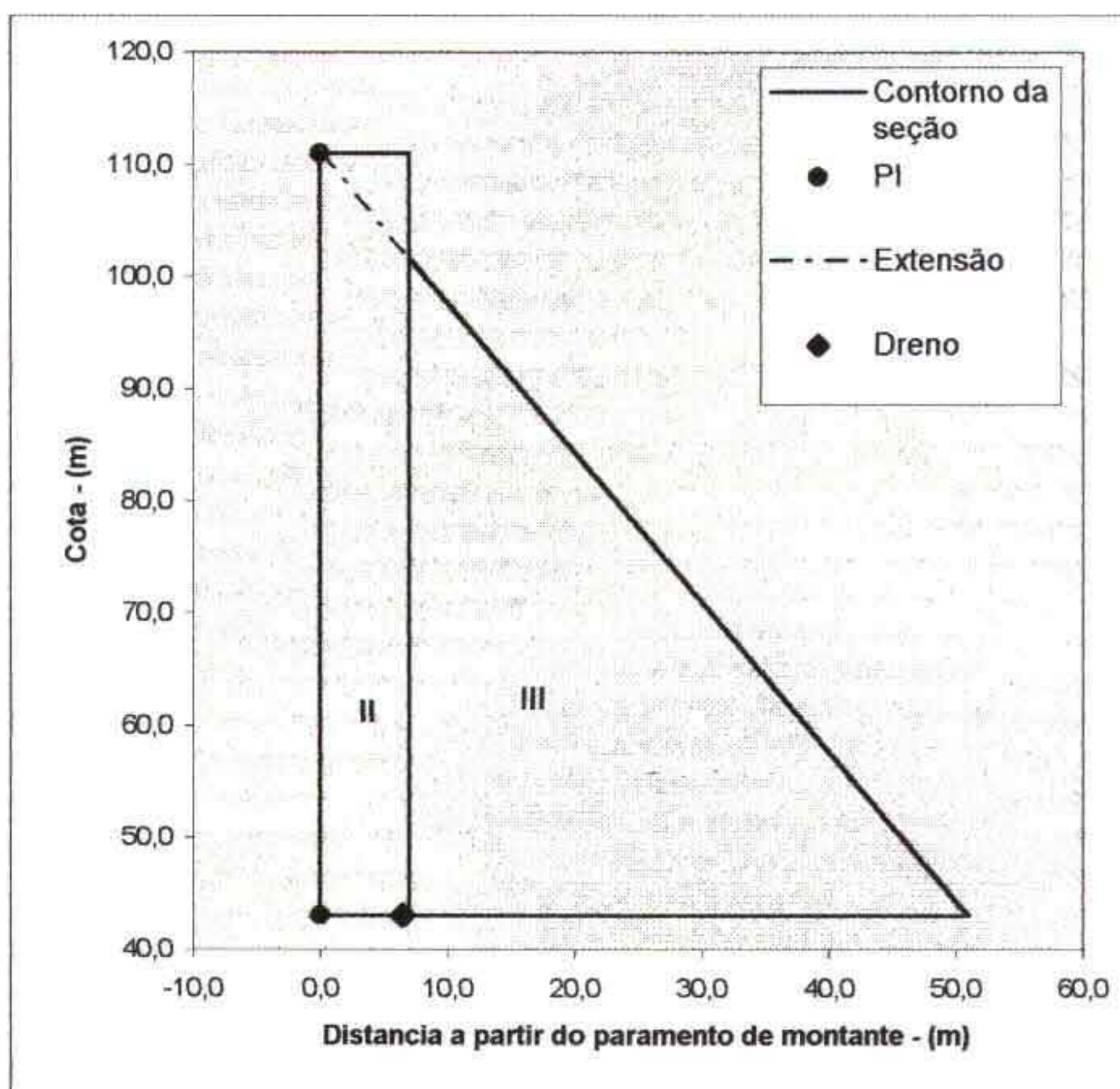
BARRAGEM DO CASTANHÃO

Caso 1, Reservatório no nível máximo normal

| Geometria | Montante | Jusante | Base W |
|--------------------|----------|---------|-----------------------|
| Cota do Coroamento | 111,0 | 111,0 | Crack Base 0 |
| Cota da Fundação | 43,0 | 43,0 | (á montante do dreno) |
| Largura da crista | 7,0 | | |
| Cota dos P.I. | 43,0 | 111,0 | |
| Talude | 0,00 | 0,750 | |
| Largura da crista | 0,00 | 51,0 | 51,0 |

Localização do dreno 6,5
Eficiência do dreno 0,33

| Seção | k | W | H | Área | X | Momento | Y | Momento |
|-------|------|------|------|--------|-------|---------|-------|---------|
| I | 0,50 | 0,0 | 0,0 | 0,0 | 0,00 | 0 | 0,00 | 0 |
| II | 1,00 | 7,0 | 68,0 | 476,0 | 3,50 | 1666 | 34,00 | 16184 |
| III | 0,50 | 44,0 | 58,7 | 1290,7 | 21,67 | 27964 | 19,56 | 25240 |
| | | | | 1766,7 | 16,77 | 29630 | 23,45 | 41424 |



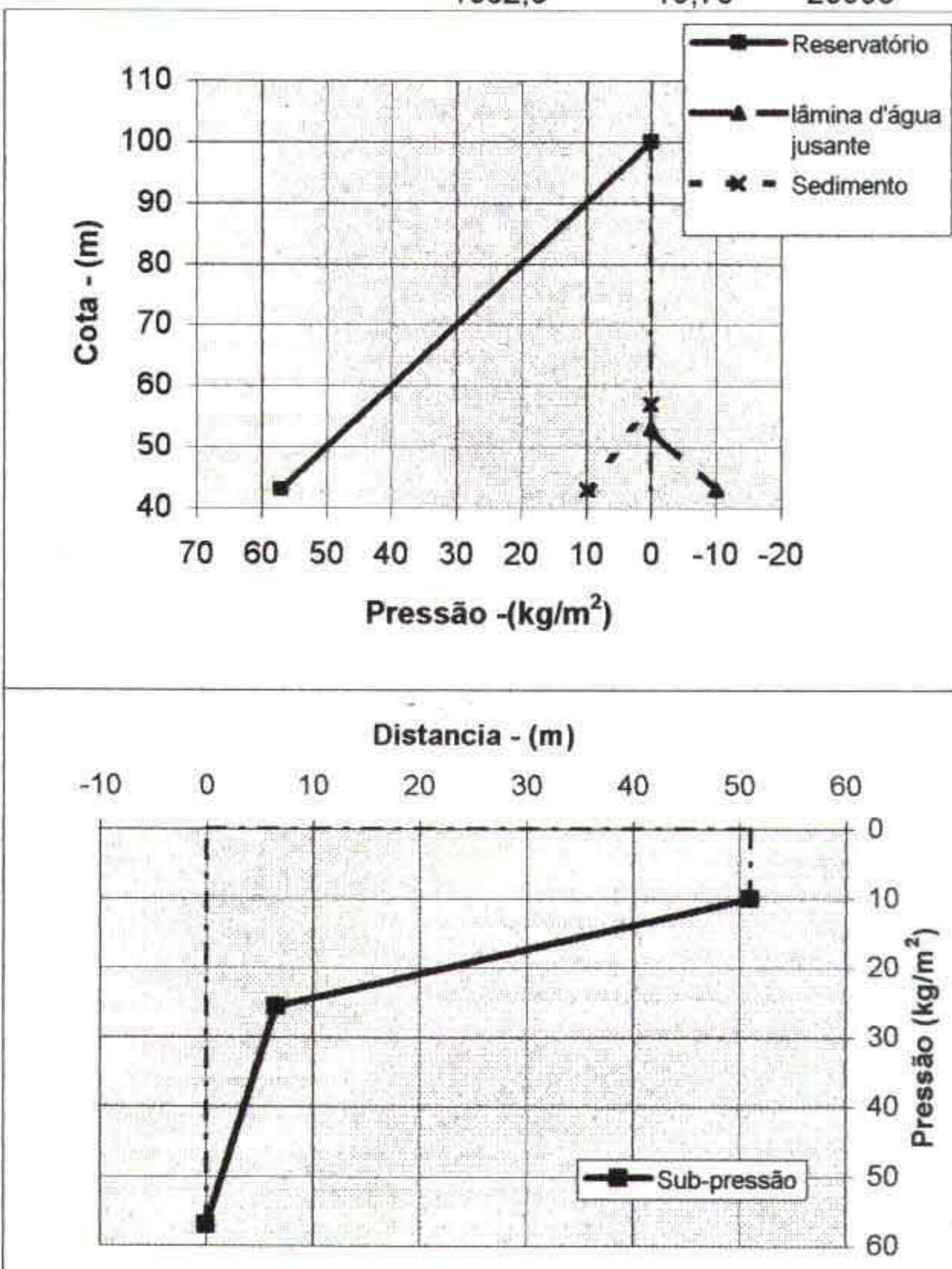
BARRAGEM DO CASTANHÃO

Caso 1, Reservatório no nível máximo normal

| | Cotas | |
|---------------------------|-------|------|
| Cota do Reservatório | 100,0 | 53,0 |
| Cota do Topo do Sedimento | 57,0 | |
| Cota da base do sedimento | 43,0 | |
| Lâmina d'água | 57,0 | 10,0 |
| Altura de Sedimento | | 14,0 |

| Peso Específico | |
|--------------------|--------|
| Concreto | 2,352 |
| Sedimento | 1,700 |
| Efetivo (submerso) | 0,7000 |
| água | 1,0000 |

| | Pressão | Altura | Força | Braço | F * A | |
|-----------------------------|---------|---------|--------|-------|-------|---------|
| | k | W | H | Peso | Braço | Momento |
| Água no reservatório | 57,00 | 57,0 | 1624,5 | 19,00 | | |
| Sedimento | 9,80 | 14,0 | 68,6 | 4,67 | | |
| Água à jusante | 10,00 | 10,0 | -50,0 | 3,33 | | |
| Talude de montante vertical | 0,50 | 0,00 | 0,00 | 0,0 | 0,00 | 0 |
| | 1 | 0,00 | 57,0 | 0,0 | 0,00 | 0 |
| | | | | 0,0 | 0,00 | 0 |
| Subpressão | Pressão | Largura | Força | Braço | F * A | |
| U1 | 10,00 | 51,0 | 510,0 | 25,50 | 13005 | |
| U2 | 15,67 | 6,5 | 101,8 | 3,25 | 331 | |
| U3 | 31,33 | 6,5 | 101,8 | 2,17 | 221 | |
| U3a | 31,33 | 0,0 | 0,0 | 0,00 | 0 | |
| U4 | 15,67 | 44,5 | 348,6 | 21,33 | 7436 | |
| | | | 1062,3 | 19,76 | 20993 | |



BARRAGEM DO CASTANHÃO

Stress Conversion: 100

Caso 1, Reservatório no nível máximo normal

Resumo das cargas resultantes

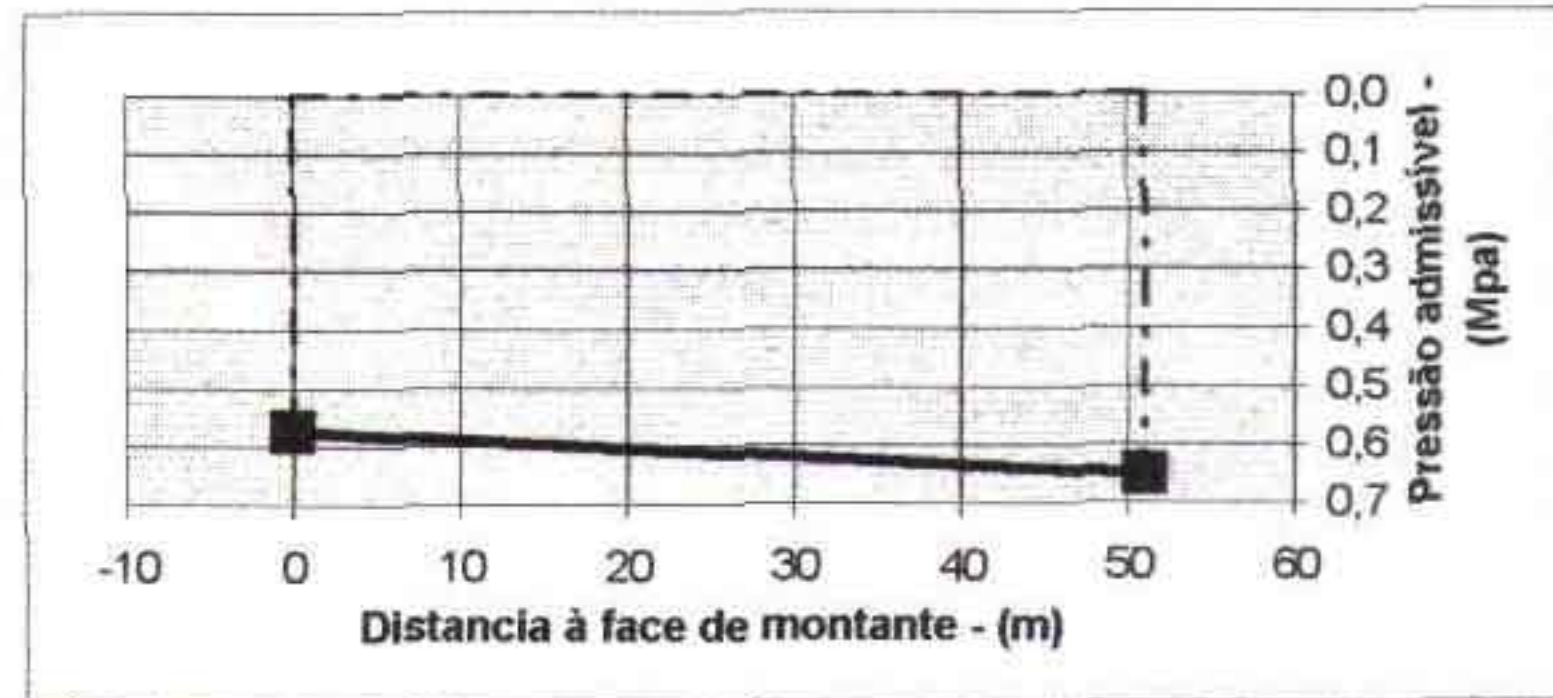
| Cargas | Vertical | Horizontal | Braço* | Momento | |
|-----------------|----------|------------|--------|---------|--|
| Peso do maciço | 4155 | | 16,77 | 69691 | * Braço medido a partir da face de montante, sendo positivo no sentido jusante |
| Água à montante | | | | | |
| Horizontal | | 1625 | 19,00 | 30866 | |
| Vertical | 0 | | 0,00 | 0 | |
| Água à jusante | | | | | |
| Horizontal | | -50 | 3,33 | -167 | |
| Vertical | 38 | | 48,50 | 1819 | |
| Sedimento | | 69 | 4,67 | 320 | |
| Sub-pressão | -1062 | | 19,76 | -20993 | |
| Totais | 3130 | 1643 | 26,05 | 81535 | |

Tombamento

$$e = 0,55$$

$$6e/B = 0,06$$

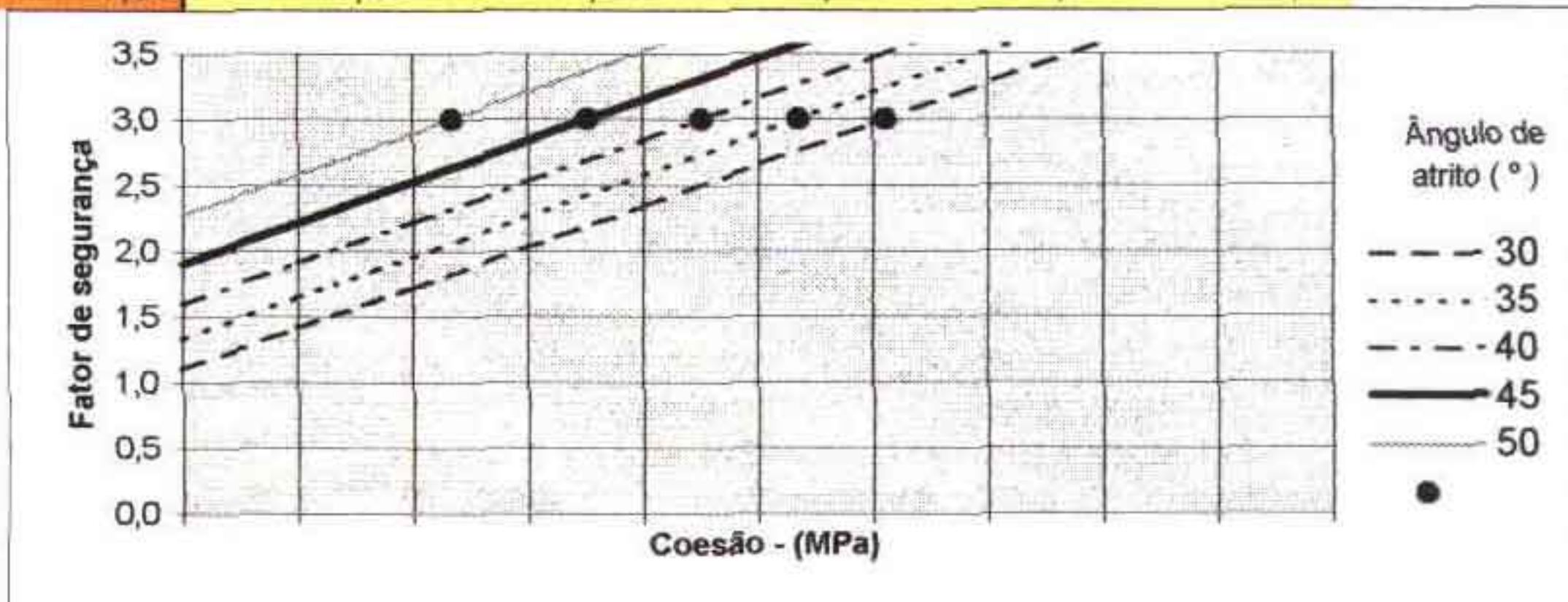
| Tensões admissíveis | | |
|---------------------|-------------------|------|
| | Kg/m ² | Mpa |
| Montante | 57,44 | 0,57 |
| Jusante | 65,32 | 0,65 |



Deslizamento

Fator de Segurança

| ângulo de atrito (°) | 30 | 35 | 40 | 45 | 50 |
|----------------------|------|------|------|------|------|
| Coesão = 0,00 Mpa | 1,10 | 1,33 | 1,60 | 1,91 | 2,27 |
| 0,10 | 1,41 | 1,64 | 1,91 | 2,22 | 2,58 |
| 0,20 | 1,72 | 1,95 | 2,22 | 2,53 | 2,89 |
| 0,40 | 2,34 | 2,58 | 2,84 | 3,15 | 3,51 |
| 0,60 | 2,96 | 3,20 | 3,46 | 3,77 | 4,13 |
| 0,80 | 3,58 | 3,82 | 4,08 | 4,39 | 4,75 |
| 1,00 | 4,20 | 4,44 | 4,70 | 5,01 | 5,37 |



BARRAGEM DO CASTANHÃO

Caso 1A, Reservatório no nível máximo de regularização das enchentes

Geometria

Cota da crista da barragem
Cota da fundação
Largura da crista
Cotas dos P.I.
Taludes
Largura da base

Montante Jusante Base W

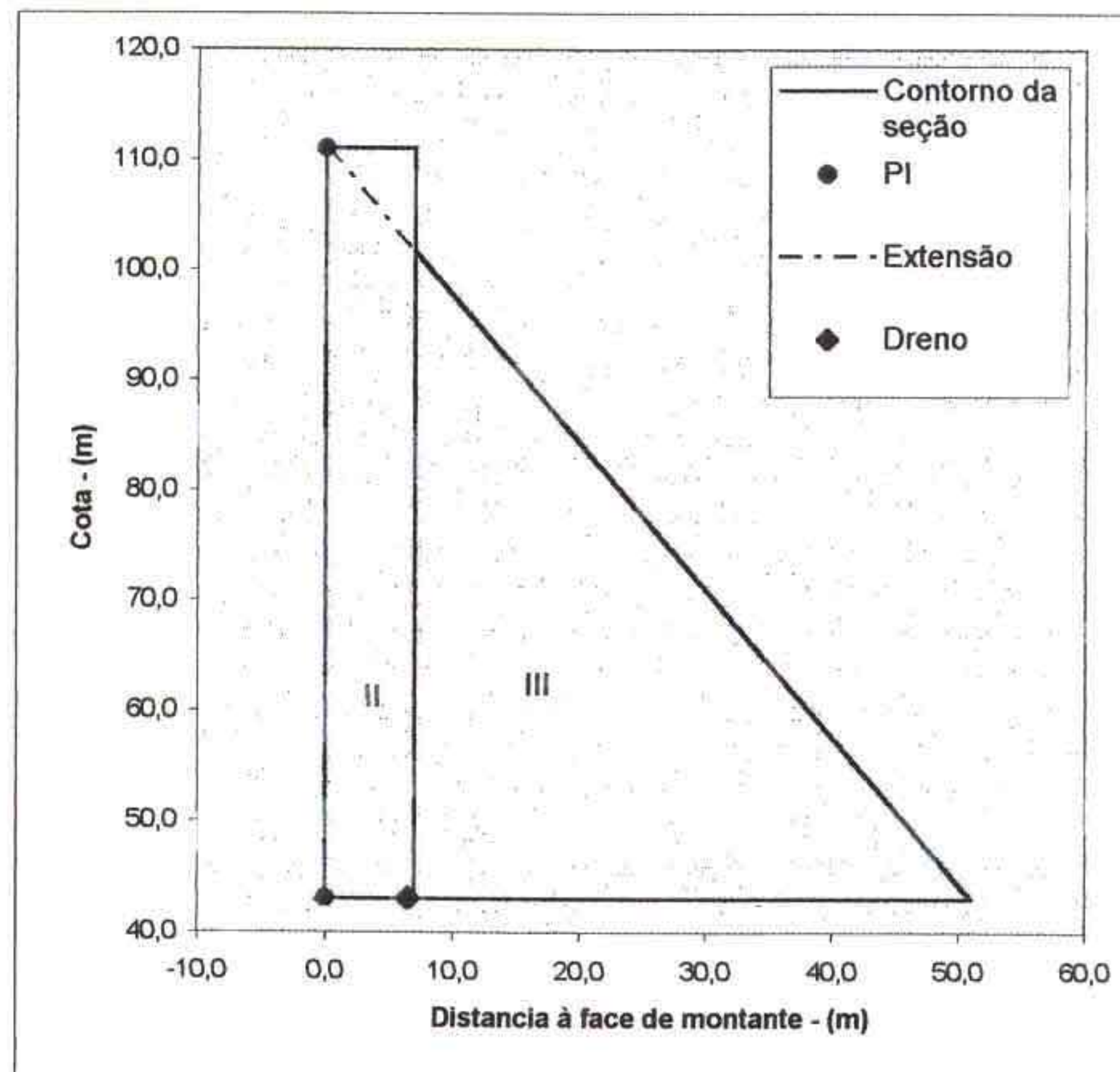
| | | | |
|--|-------|-------|------|
| | 111,0 | 111,0 | |
| | 43,0 | 43,0 | |
| | 7,0 | | |
| | 43,0 | 111,0 | |
| | 0,00 | 0,750 | |
| | 0,00 | 51,0 | 51,0 |

Crack Base 0
(à montante do dreno)

Localização do dreno
Eficiência do dreno

| |
|------|
| 6,5 |
| 0,33 |

| Seção | k | W | H | Area | X | Momento | Y | Momento |
|-------|------|------|------|--------|-------|---------|-------|---------|
| I | 0,50 | 0,0 | 0,0 | 0,0 | 0,00 | 0 | 0,00 | 0 |
| II | 1,00 | 7,0 | 68,0 | 476,0 | 3,50 | 1666 | 34,00 | 16184 |
| III | 0,50 | 44,0 | 58,7 | 1290,7 | 21,67 | 27964 | 19,56 | 25240 |
| | | | | 1766,7 | 16,77 | 29630 | 23,45 | 41424 |

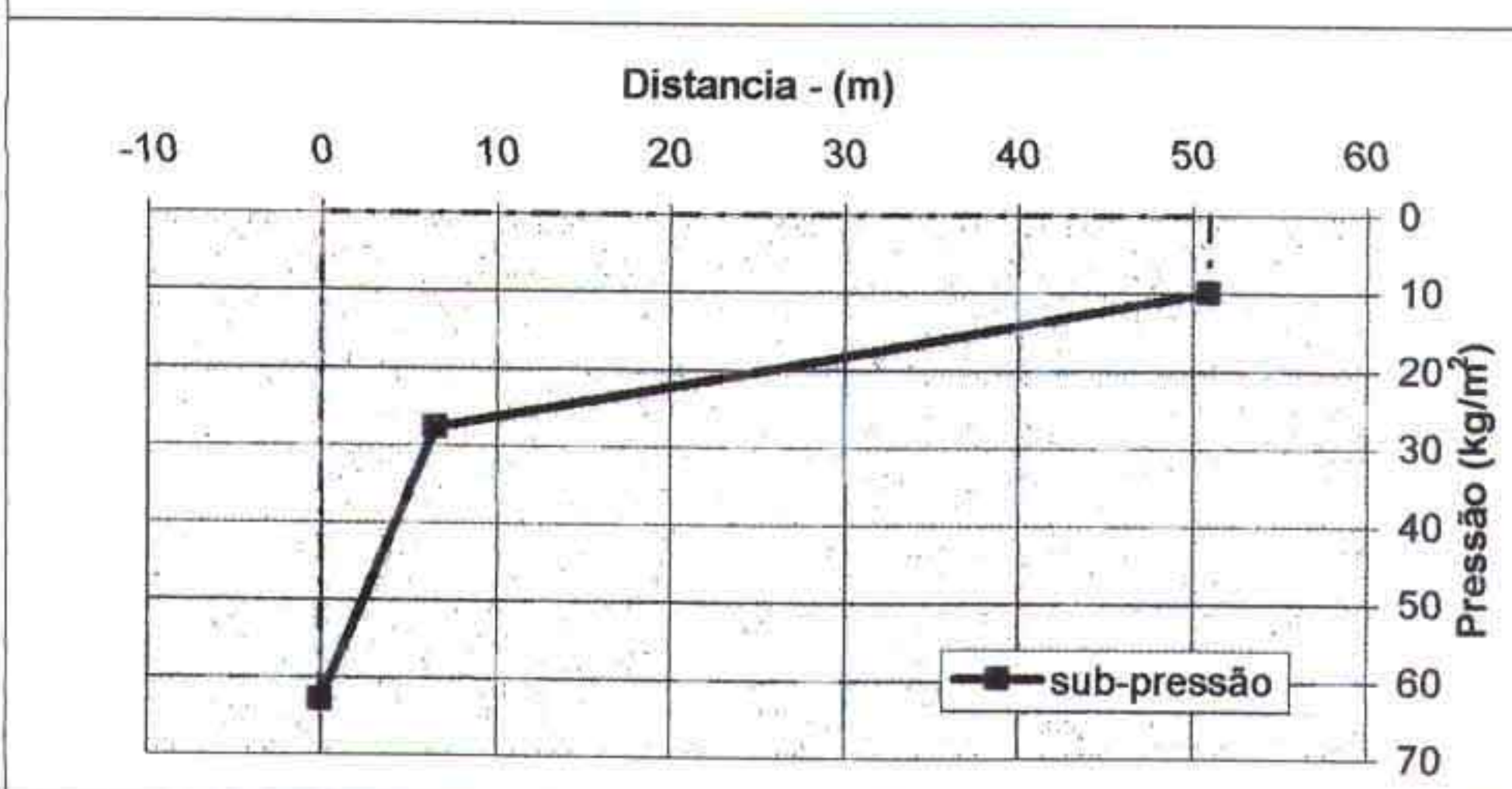
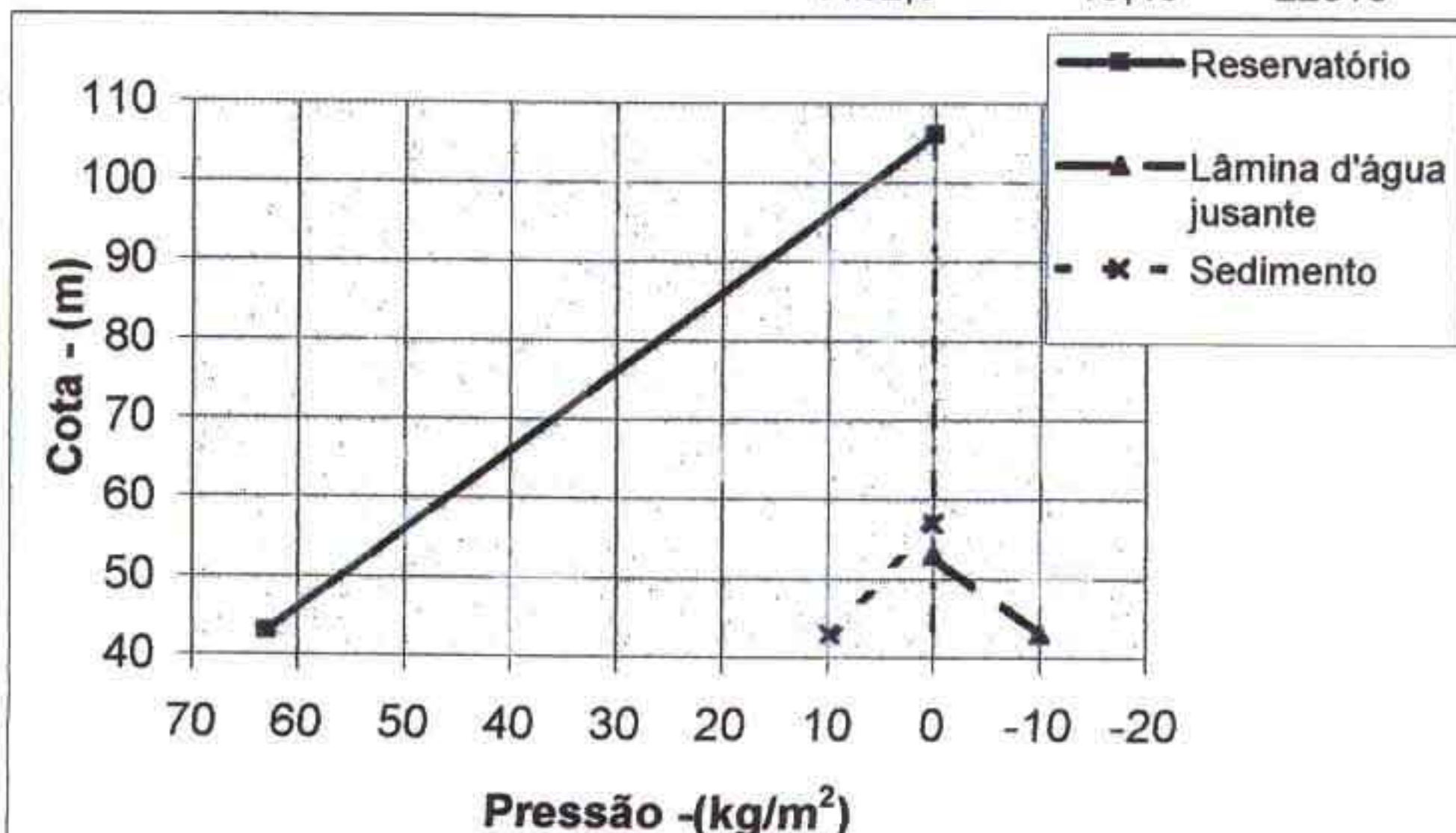


BARRAGEM DO CASTANHÃO

Caso 1A, Reservatório no nível máximo de regularização das enchentes

| | Cotas | | Peso específico | |
|----------------------------|-------|------|--------------------|--------|
| Cota da crista da barragem | 106,0 | 53,0 | Concreto | 2,352 |
| Cota da fundação | 57,0 | | Sedimento | 1,700 |
| Cota do topo do sedimento | 43,0 | | Sedimento submerso | 0,7000 |
| Lâmina d'água | 63,0 | 10,0 | Água | 1,0000 |
| Altura do sedimento | | 14,0 | | |

| | Pressão | Altura | Força | Braço | F * A | Peso | Braço | Momento |
|-----------------------------|---------|---------|--------|-------|-------|------|-------|---------|
| | k | W | H | | | | | |
| Água no reservatório | 63,00 | 63,0 | 1984,5 | 21,00 | | | | |
| Sedimento | 9,80 | 14,0 | 68,6 | 4,67 | | | | |
| Lâmina d'água a jusante | 10,00 | 10,0 | -50,0 | 3,33 | | | | |
| Talude de montante vertical | 0,50 | 0,00 | 0,00 | 0,0 | 0,00 | 0,0 | 0,00 | 0 |
| | 1 | 0,00 | 63,0 | 0,0 | 0,00 | 0,0 | 0,00 | 0 |
| Sub-pressão | Pressão | Largura | Força | Braço | F * A | | | |
| U1 | 10,00 | 51,0 | 510,0 | 25,50 | 13005 | | | |
| U2 | 17,67 | 6,5 | 114,8 | 3,25 | 373 | | | |
| U3 | 35,33 | 6,5 | 114,8 | 2,17 | 249 | | | |
| U3a | 35,33 | 0,0 | 0,0 | 0,00 | 0 | | | |
| U4 | 17,67 | 44,5 | 393,1 | 21,33 | 8386 | | | |
| | | | 1132,8 | 19,43 | 22013 | | | |



BARRAGEM DO CASTANHÃO

Stress Conversion: 100

Caso 1A, Reservatório no nível máximo de regularização das enchentes

Resumo das cargas resultantes

| Carga | Vertical | Horizontal | Braço* | Momento |
|-------------------------|----------|------------|--------|---------|
| Peso do maciço | 4155 | | 16,77 | 69691 |
| Água no reservatório | | | | |
| Horizontal | | 1985 | 21,00 | 41675 |
| Vertical | 0 | | 0,00 | 0 |
| Lâmina d'água a jusante | | | | |
| Horizontal | | -50 | 3,33 | -167 |
| Vertical | 38 | | 48,50 | 1819 |
| Sedimento | | 69 | 4,67 | 320 |
| Sub-pressão | -1133 | | 19,43 | -22013 |
| Totais | 3060 | 2003 | 29,85 | 91325 |

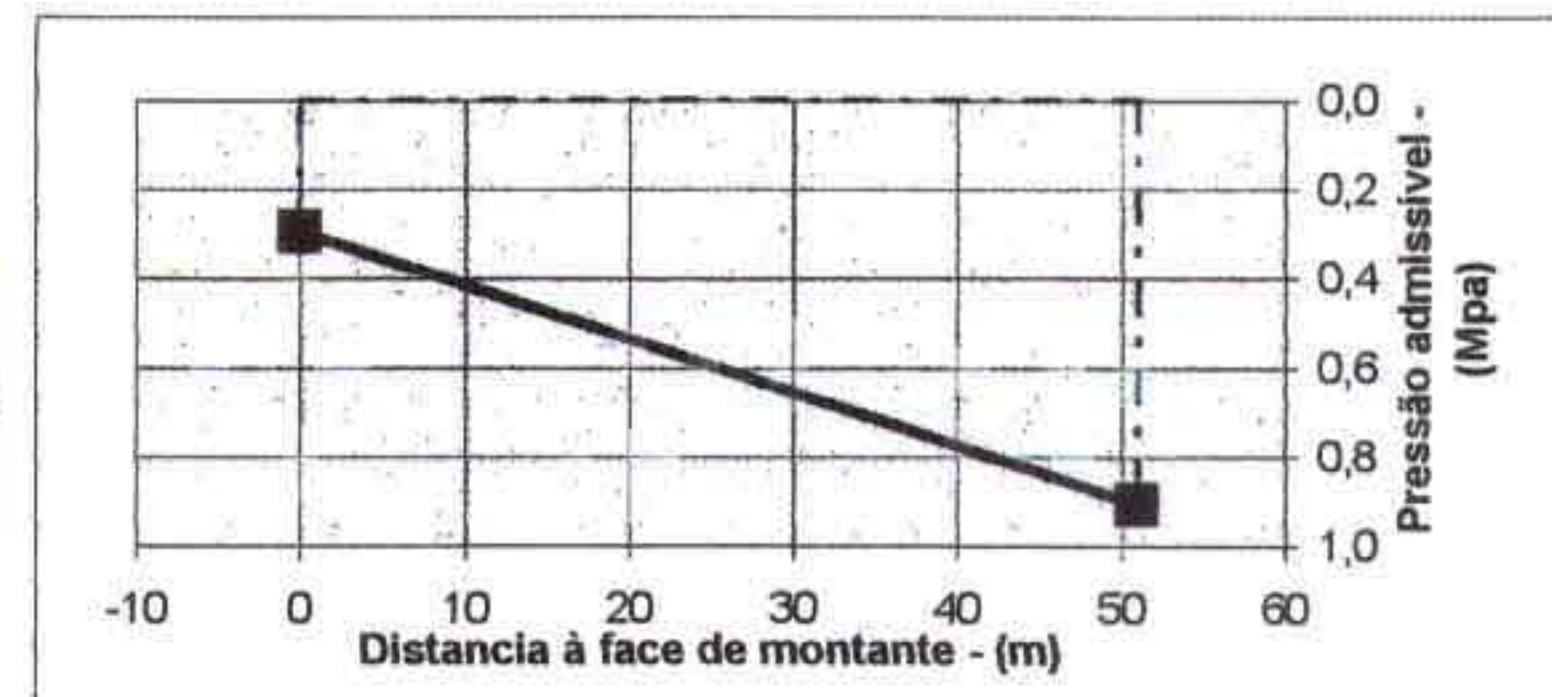
* Braço medido apartir da face de montante, positivo no sentido jusante

Tombamento

$$e = 4,35$$

$$6e/B = 0,51$$

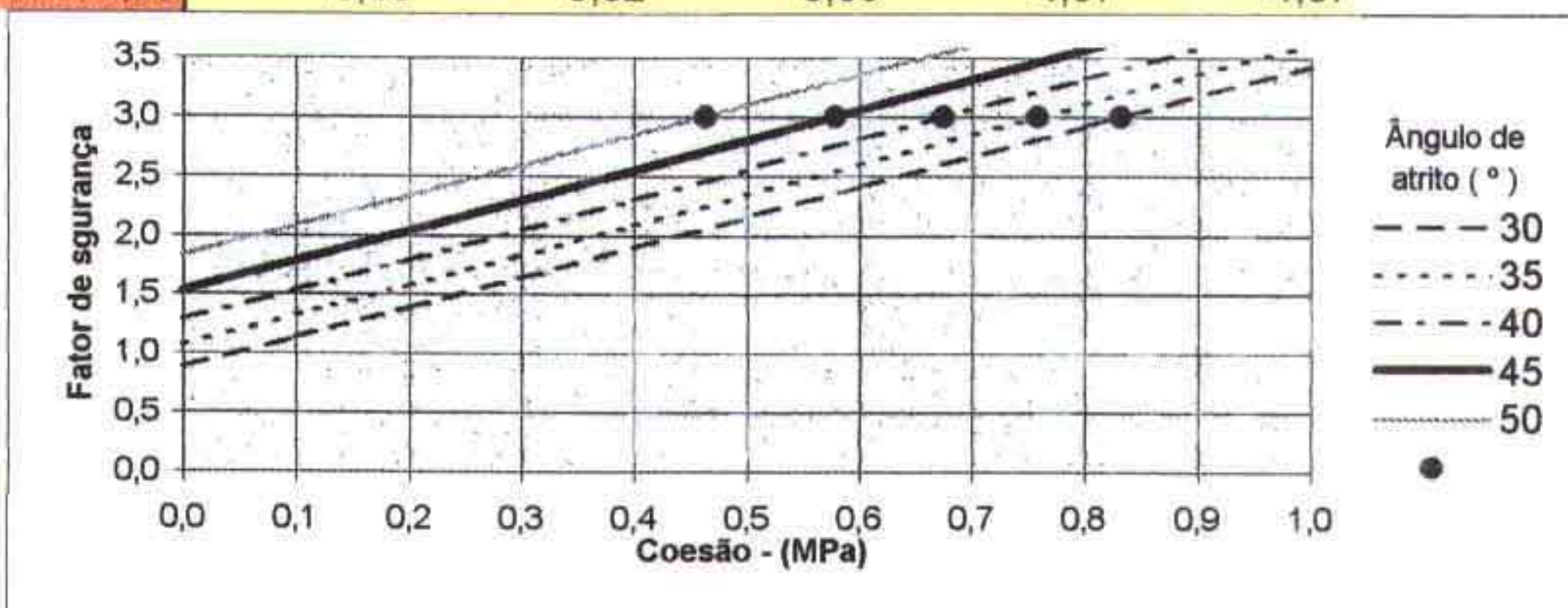
| Tensões admissíveis | | |
|---------------------|-------------------|------|
| | Kg/m ² | Mpa |
| Montante | 29,33 | 0,29 |
| Jusante | 90,67 | 0,91 |



Escorregamento

Fator de segurança

| Ângulo de atrito = | 30 | 35 | 40 | 45 | 50 | |
|--------------------|------|------|------|------|------|------|
| Cosão = Mpa | 0,00 | 0,88 | 1,07 | 1,28 | 1,53 | 1,82 |
| 0,10 | 1,14 | 1,32 | 1,54 | 1,78 | 2,08 | |
| 0,20 | 1,39 | 1,58 | 1,79 | 2,04 | 2,33 | |
| 0,40 | 1,90 | 2,09 | 2,30 | 2,55 | 2,84 | |
| 0,60 | 2,41 | 2,60 | 2,81 | 3,06 | 3,35 | |
| 0,80 | 2,92 | 3,11 | 3,32 | 3,56 | 3,86 | |
| 1,00 | 3,43 | 3,62 | 3,83 | 4,07 | 4,37 | |

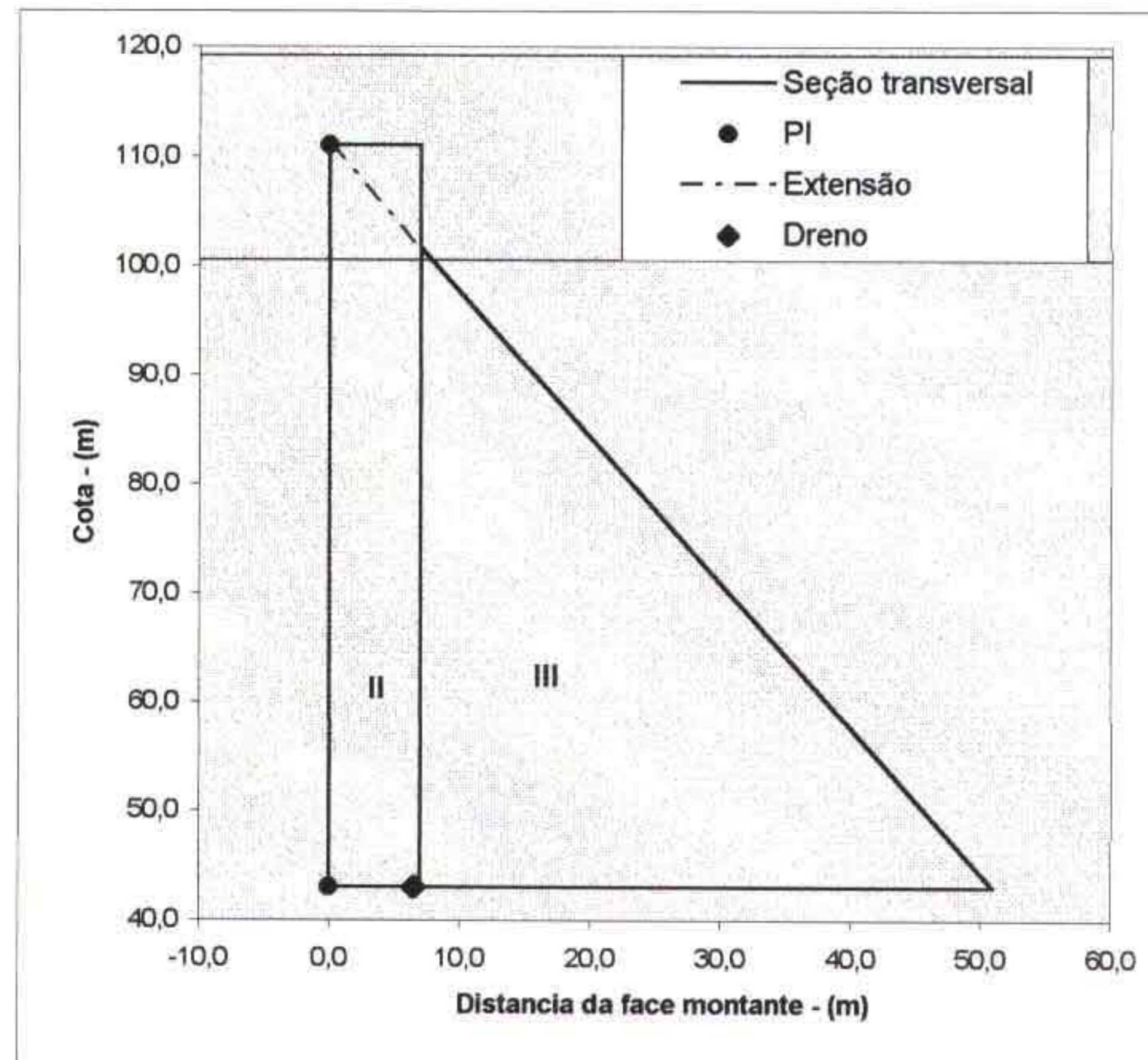


BARRAGEM DO CASTANHÃO

Caso 2, Nível d'água máximo provável do reservatório

| Geometria | Montante | Jusante | Total base | | |
|------------------------------|----------|---------|------------|--------------------------------|---|
| Cota do topo da barragem | 111,0 | 111,0 | | Crack Base | 0 |
| Cota da fundação da barragem | 43,0 | 43,0 | | (à montante do local do dreno) | |
| Largura da crista | 7,0 | | | | |
| Cota PI | 43,0 | 111,0 | | | |
| Talude | 0,00 | 0,750 | | | |
| Largura da base | 0,00 | 51,0 | 51,0 | | |
| Localização do dreno | | 6,5 | | | |
| Eficiencia do dreno | | 0,33 | | | |

| Seção | k | Largura | Altura | Area | X | Momento | Y | Momento |
|-------|------|---------|--------|--------|-------|---------|-------|---------|
| I | 0,50 | 0,0 | 0,0 | 0,0 | 0,00 | 0 | 0,00 | 0 |
| II | 1,00 | 7,0 | 68,0 | 476,0 | 3,50 | 1666 | 34,00 | 16184 |
| III | 0,50 | 44,0 | 58,7 | 1290,7 | 21,67 | 27964 | 19,56 | 25240 |
| | | | | 1766,7 | 16,77 | 29630 | 23,45 | 41424 |

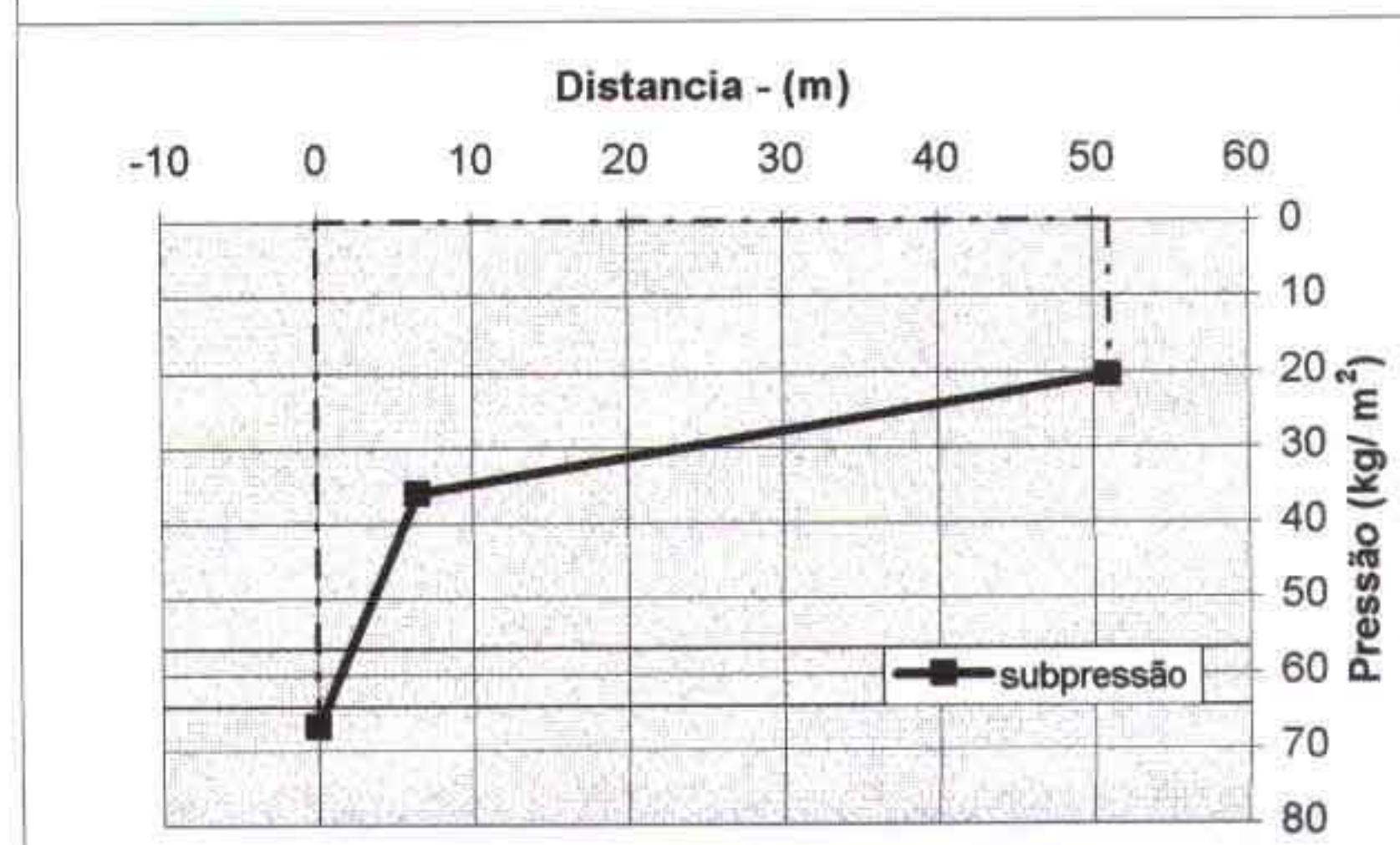
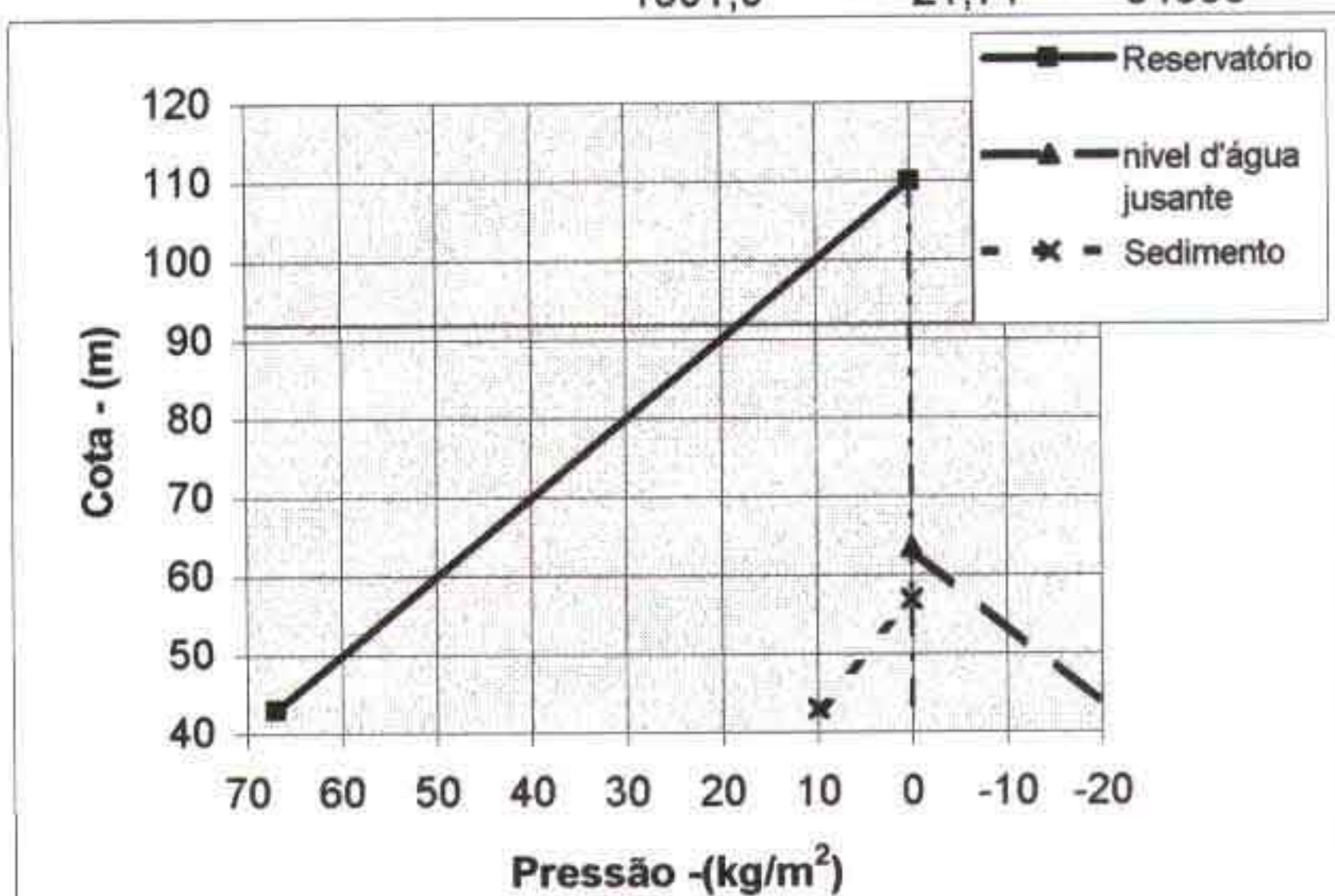


BARRAGEM DO CASTANHÃO

Caso 2, Nível d'água máximo provável do reservatório

| | Montante | Jusante | Peso específico | |
|----------------------------|----------|---------|-------------------------|--------|
| Cota do nível d'água | 110,0 | 63,5 | Concreto | 2,352 |
| Cota do topo do sedimento | 57,0 | | Total do Sedimento | 1,700 |
| Cota do fundo do sedimento | 43,0 | | Efetivo Sedimento (Sub) | 0,7000 |
| Coluna d'água | 67,0 | 20,5 | Água | 1,0000 |
| Altura de sedimento | 14,0 | | | |

| | Pressão | Altura | Força | Braço | F * A | |
|-------------------------------|---------|---------|--------|-------|-------|---------|
| | k | W | H | peso | Braço | Momento |
| Carga hidrostática à montante | 67,00 | 67,0 | 2244,5 | 22,33 | | |
| Sedimento siltoso | 9,80 | 14,0 | 68,6 | 4,67 | | |
| Carga hidrostática à jusante | 20,50 | 20,5 | -210,1 | 6,83 | | |
| Montante Vertical | 0,50 | 0,00 | 0,00 | 0,0 | 0,00 | 0 |
| | 1 | 0,00 | 67,0 | 0,0 | 0,00 | 0 |
| | | | | 0,0 | 0,00 | 0 |
| Subpressão | Pressão | Largura | Força | Braço | F * A | |
| U1 | 20,50 | 51,0 | 1045,5 | 25,50 | 26660 | |
| U2 | 15,50 | 6,5 | 100,8 | 3,25 | 327 | |
| U3 | 31,00 | 6,5 | 100,8 | 2,17 | 218 | |
| U3a | 31,00 | 0,0 | 0,0 | 0,00 | 0 | |
| U4 | 15,50 | 44,5 | 344,9 | 21,33 | 7357 | |
| | | | 1591,9 | 21,71 | 34563 | |



BARRAGEM DO CASTANHÃO

Stress Conversion: 100

Caso 2, Nível d'água máximo provável do reservatório

Resumo das cargas resultantes

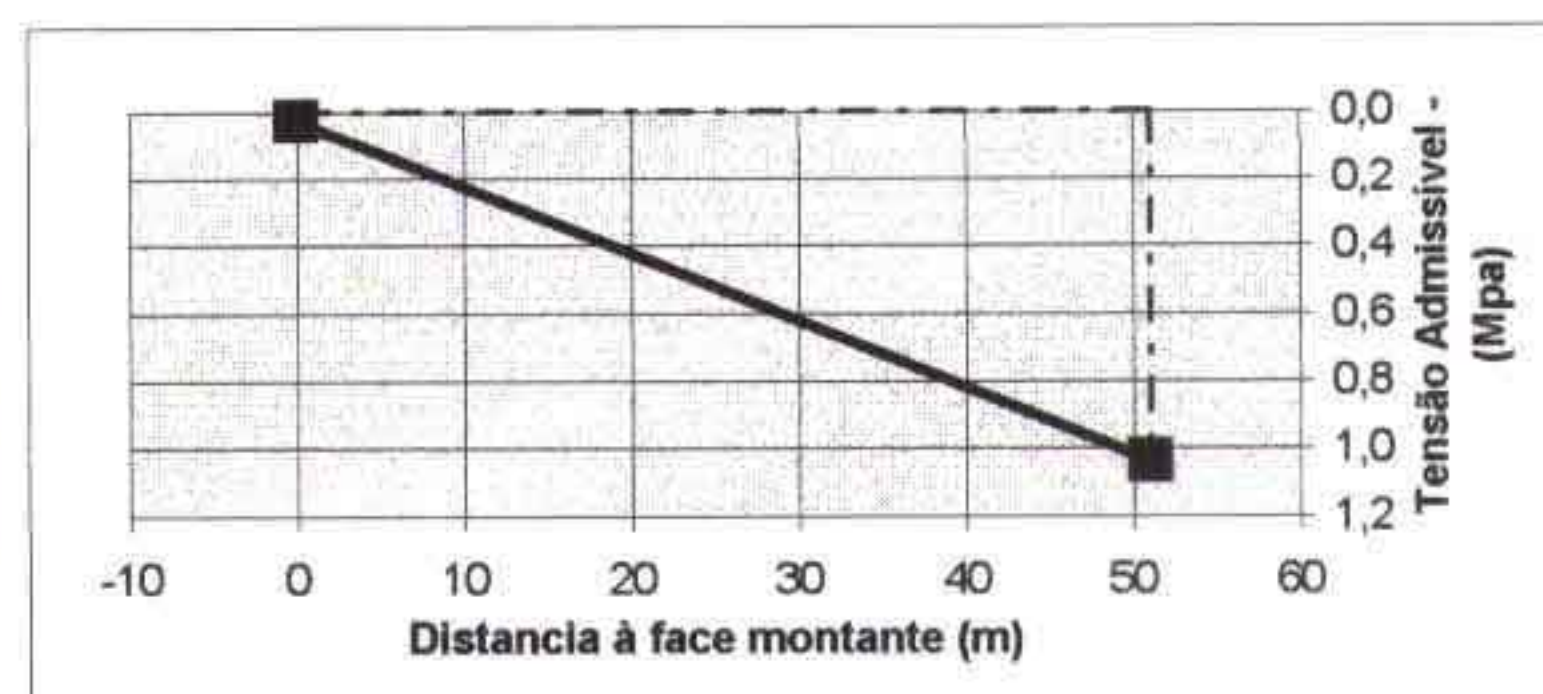
| Carregamento | Vertical | Horizontal | Braço* | Momento | * Braço medido a partir da face montante, sentido montante positivo |
|------------------|----------|------------|--------|---------|---|
| Peso da barragem | 4155 | | 16,77 | 69691 | |
| Água à montante | | | | | |
| Horizontal | | 2245 | 22,33 | 50127 | |
| Vertical | 0 | | 0,00 | 0 | |
| Água à jusante | | | | | |
| Horizontal | | -210 | 6,83 | -1436 | |
| Vertical | 158 | | 45,88 | 7230 | |
| Sedimento | | 69 | 4,67 | 320 | |
| Subpressão | -1592 | | 21,71 | -34563 | |
| Totais | 2721 | 2103 | 33,58 | 91369 | |

Tombamento:

$$e = 8,08$$

$$6e/B = 0,95$$

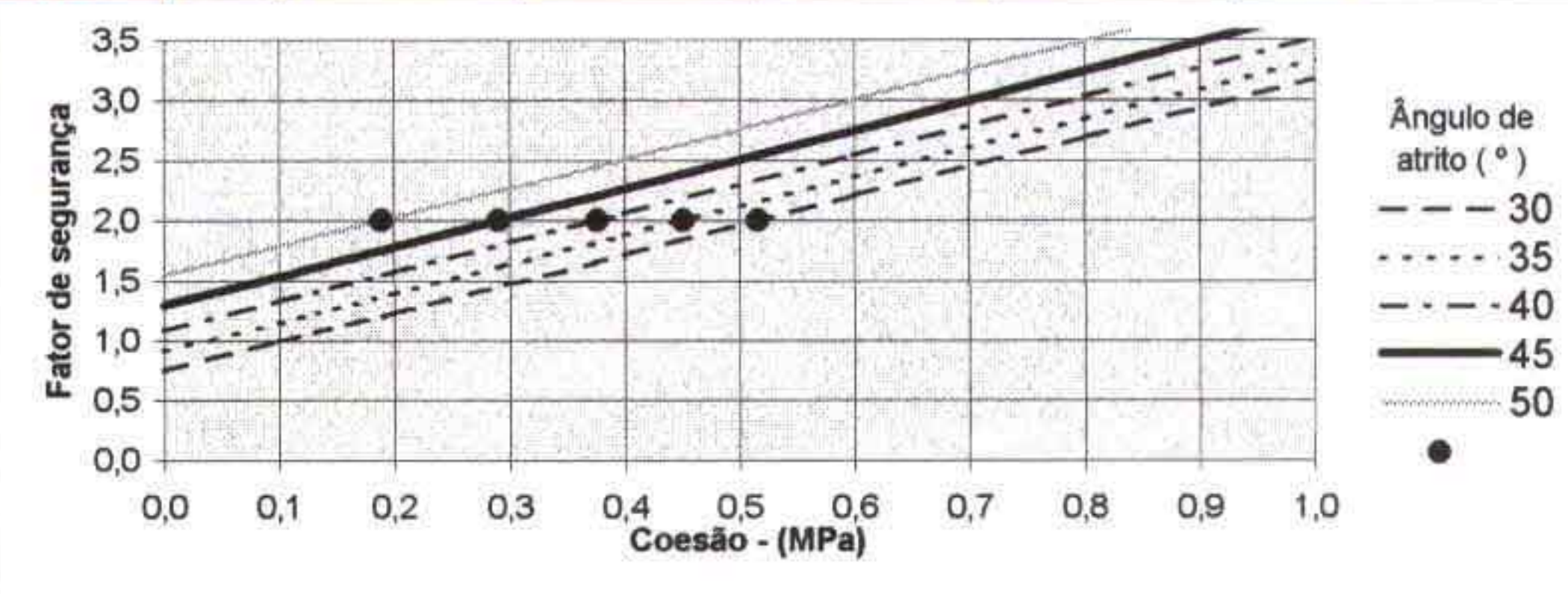
| Tensões Admissíveis: | | |
|----------------------|-------------------|------|
| | Kg/m ² | Mpa |
| Montante | 2,64 | 0,03 |
| Jusante | 104,07 | 1,04 |



Escorregamento:

FATOR DE SEGURANÇA

| ângulo de atrito (°) | 30 | 35 | 40 | 45 | 50 |
|----------------------|------|------|------|------|------|
| Coesão (Mpa) = 0,00 | 0,75 | 0,91 | 1,09 | 1,29 | 1,54 |
| 0,10 | 0,99 | 1,15 | 1,33 | 1,54 | 1,78 |
| 0,20 | 1,23 | 1,39 | 1,57 | 1,78 | 2,03 |
| 0,40 | 1,72 | 1,88 | 2,06 | 2,26 | 2,51 |
| 0,60 | 2,20 | 2,36 | 2,54 | 2,75 | 3,00 |
| 0,80 | 2,69 | 2,85 | 3,03 | 3,23 | 3,48 |
| 1,00 | 3,17 | 3,33 | 3,51 | 3,72 | 3,97 |

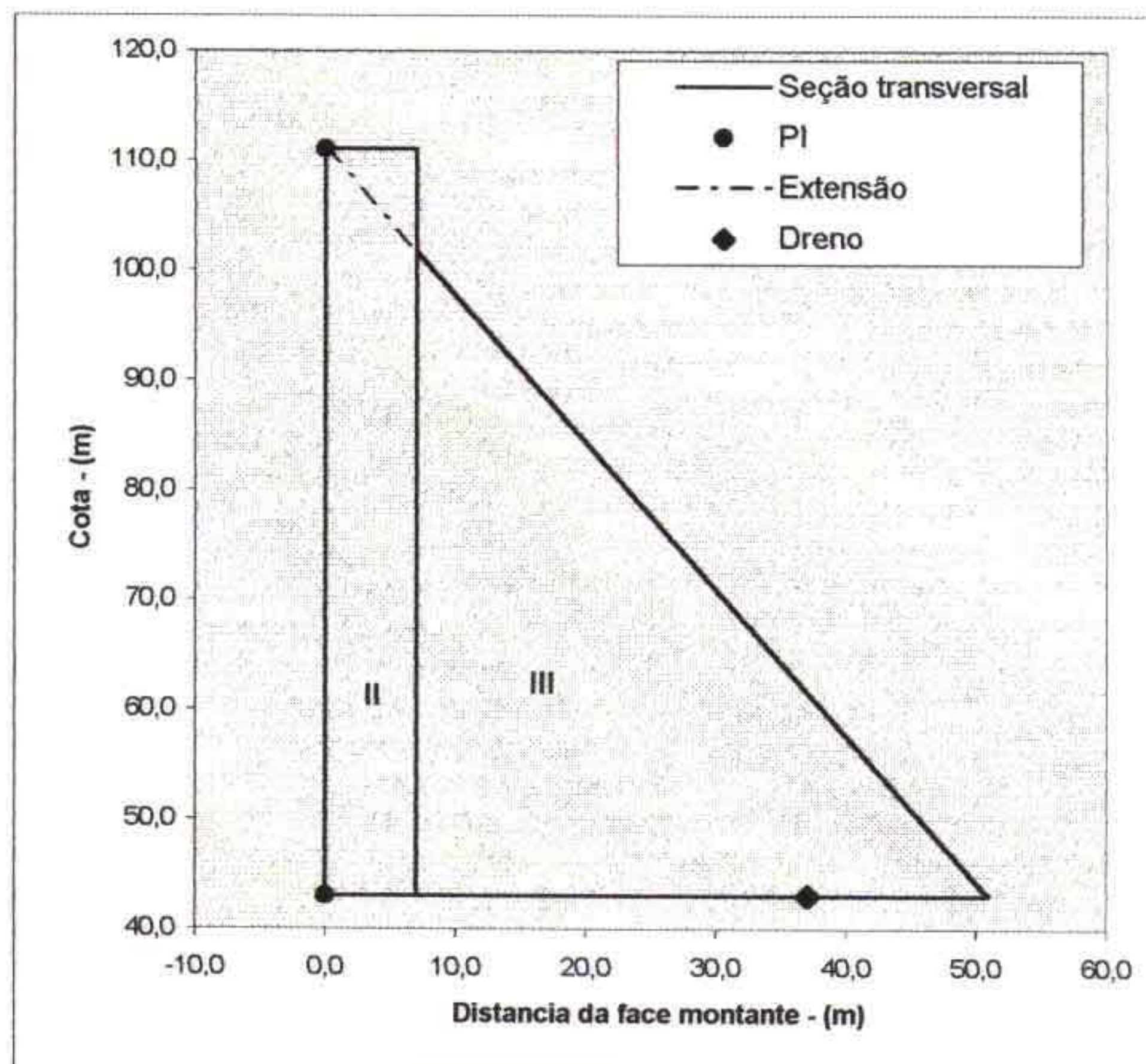


BARRAGEM DO CASTANHÃO

Caso 2 A, Nível d'água máximo provável do reservatório(dreno não operante)

| Geometria | Montante | Jusante | Total base | |
|------------------------------|----------|---------|------------|--------------------------------|
| Cota do topo da barragem | 111,0 | 111,0 | | Crack Base 37,04 |
| Cota da fundação da barragem | 43,0 | 43,0 | | (à montante do local do dreno) |
| Largura da crista | 7,0 | | | |
| Cota PI | 43,0 | 111,0 | | |
| Talude | 0,00 | 0,750 | | |
| Largura da base | 0,00 | 51,0 | 51,0 | |
| Localização do dreno | | 37,0 | | |
| Eficiencia do dreno | | 1,00 | | |

| Seção | k | Largura | Altura | Area | X | Momento | Y | Momento |
|-------|------|---------|--------|--------|-------|---------|-------|---------|
| I | 0,50 | 0,0 | 0,0 | 0,0 | 0,00 | 0 | 0,00 | 0 |
| II | 1,00 | 7,0 | 68,0 | 476,0 | 3,50 | 1666 | 34,00 | 16184 |
| III | 0,50 | 44,0 | 58,7 | 1290,7 | 21,67 | 27964 | 19,56 | 25240 |
| | | | | 1766,7 | 16,77 | 29630 | 23,45 | 41424 |

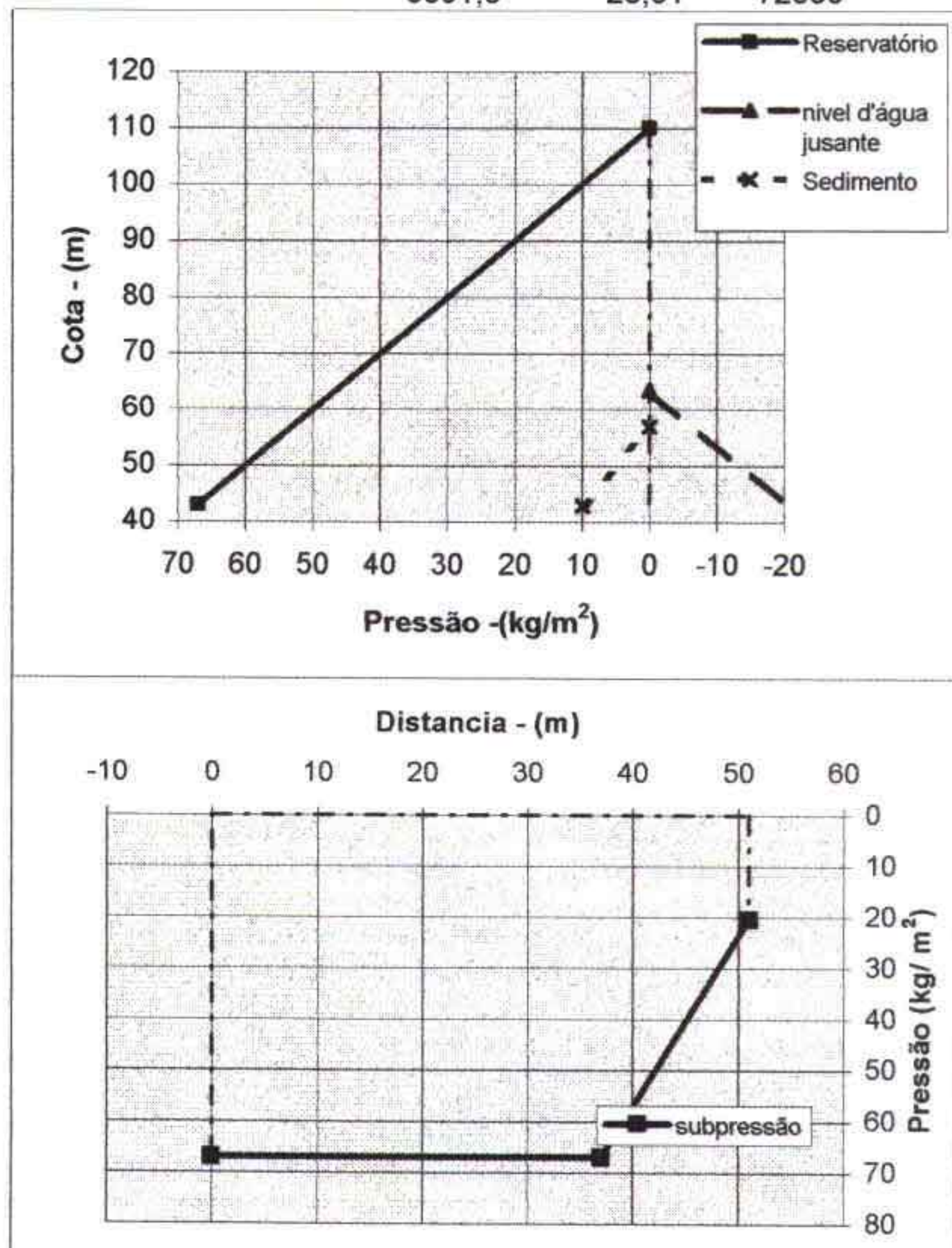


BARRAGEM DO CASTANHÃO

Caso 2 A, Nível d'água máximo provável do reservatório(dreno não operante)

| | Montante | Jusante | Peso específico | |
|----------------------------|----------|---------|-------------------------|--------|
| Cota do nível d'água | 110,0 | 63,5 | Concreto | 2,352 |
| Cota do topo do sedimento | 57,0 | | Total do Sedimento | 1,700 |
| Cota do fundo do sedimento | 43,0 | | Efetivo Sedimento (Sub) | 0,7000 |
| Coluna d'água | 67,0 | 20,5 | Água | 1,0000 |
| Altura de sedimento | 14,0 | | | |

| | Pressão | Altura | Força | Braço | F * A | |
|-------------------------------|---------|---------|--------|-------|-------|---|
| | | | | | k | W |
| Carga hidrostática à montante | 67,00 | 67,0 | 2244,5 | 22,33 | | |
| Sedimento siltoso | 9,80 | 14,0 | 68,6 | 4,67 | | |
| Carga hidrostática à jusante | 20,50 | 20,5 | -210,1 | 6,83 | | |
| Montante Vertical | 0,50 | 0,00 | 0,00 | 0,0 | 0,00 | 0 |
| | 1 | 0,00 | 67,0 | 0,0 | 0,00 | 0 |
| | | | | 0,0 | 0,00 | 0 |
| Subpressão | Pressão | Largura | Força | Braço | F * A | |
| U1 | 20,50 | 51,0 | 1045,5 | 25,50 | 26660 | |
| U2 | 46,50 | 37,0 | 1720,5 | 18,50 | 31829 | |
| U3 | 0,00 | 0,0 | 0,0 | 37,00 | 0 | |
| U3a | 0,00 | 37,0 | 0,0 | 18,50 | 0 | |
| U4 | 46,50 | 14,0 | 325,5 | 41,69 | 13570 | |
| | | | 3091,5 | 23,31 | 72060 | |



BARRAGEM DO CASTANHÃO

Stress Conversion: 100

Caso 2 A, Nível d'água máximo provável do reservatório(dreno não operante)

Resumo das cargas resultantes

| Carregamento | Vertical | Horizontal | Braço* | Momento |
|------------------|----------|------------|--------|---------|
| Peso da barragem | 4155 | | 16,77 | 69691 |
| Água à montante | | | | |
| Horizontal | | 2245 | 22,33 | 50127 |
| Vertical | 0 | | 0,00 | 0 |
| Água à jusante | | | | |
| Horizontal | | -210 | 6,83 | -1435 |
| Vertical | 158 | | 45,88 | 7230 |
| Sedimento | | 69 | 4,67 | 320 |
| Subpressão | -3092 | | 23,31 | -72060 |
| Totais | 1221 | 2103 | 44,11 | 53873 |

* Braço medido a partir da face montante, sentido montante positivo

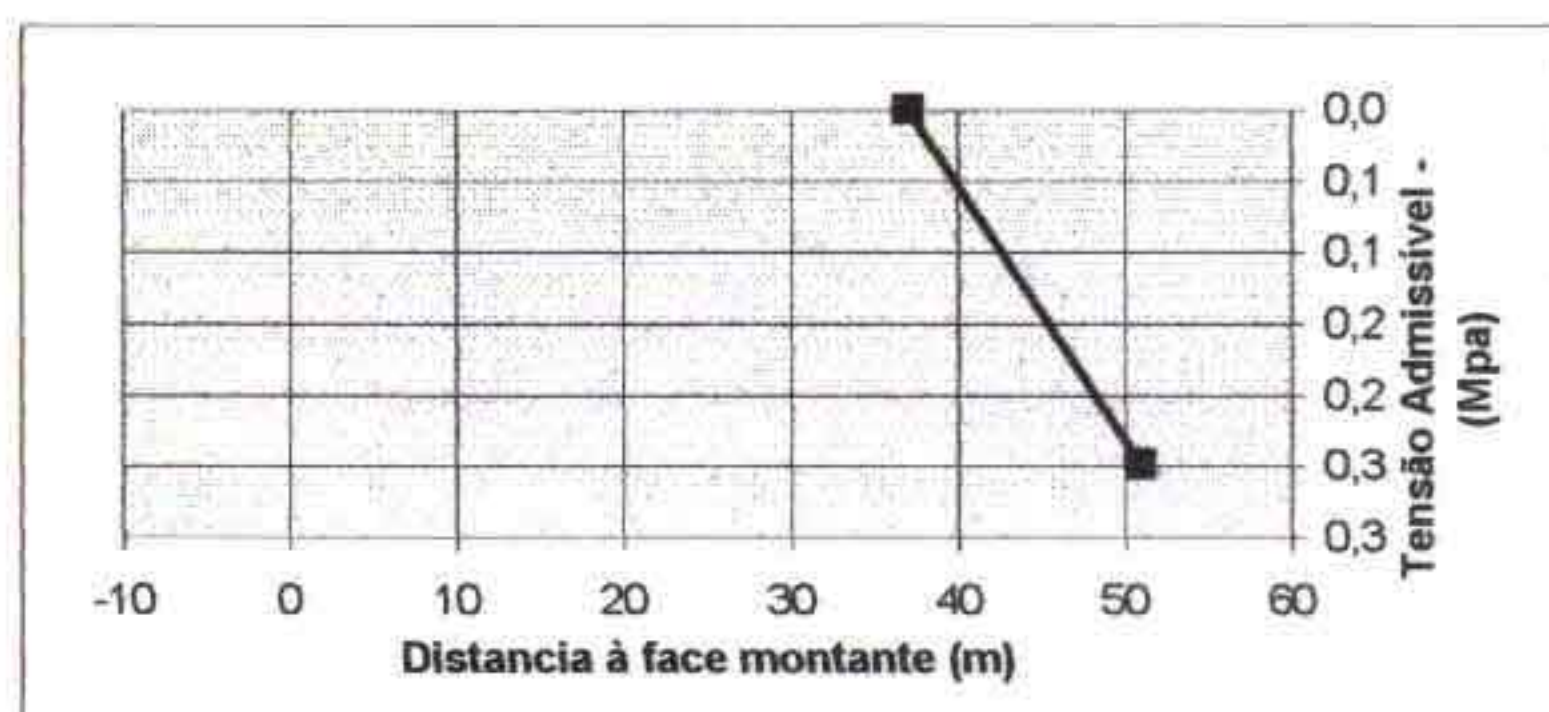
Tombamento:

$$e = 0,09$$

$$6e/B = 0,04$$

Tensões Admissíveis:

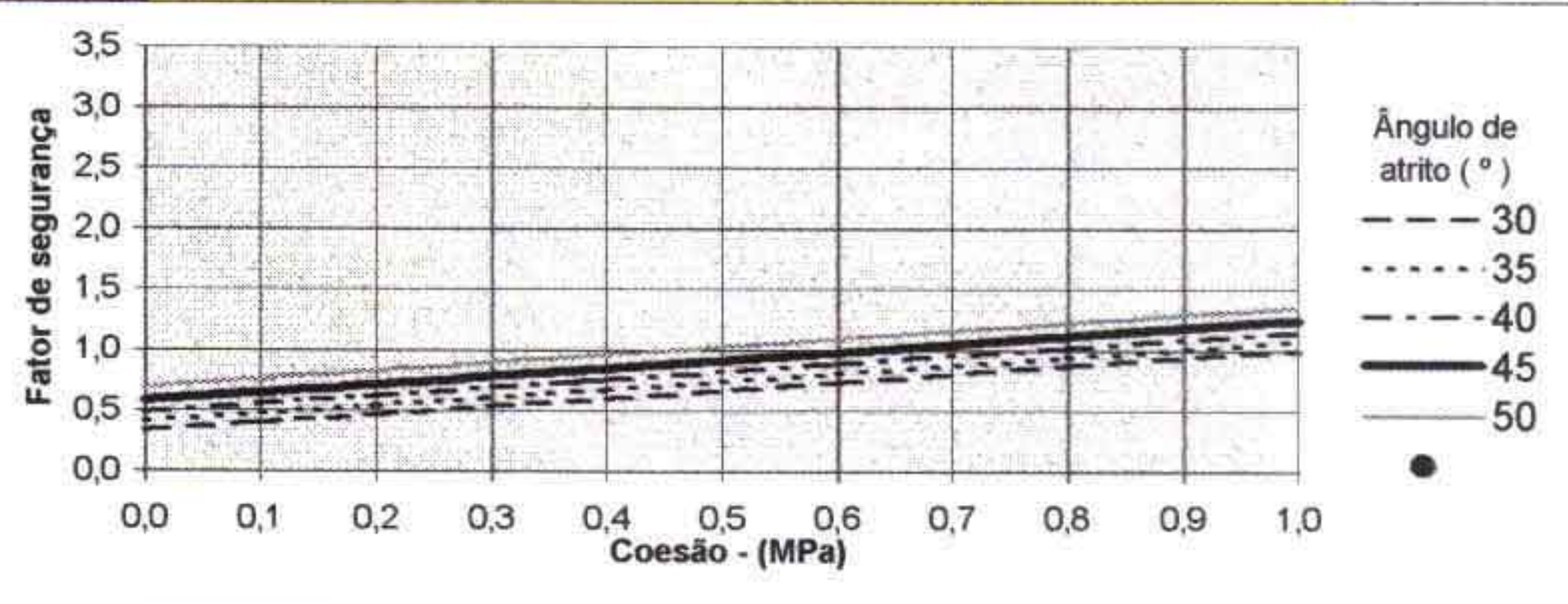
| | Kg/m ² | Mpa |
|----------|-------------------|------|
| Montante | 0,01 | 0,00 |
| Jusante | 24,89 | 0,25 |



Escorregamento:

FATOR DE SEGURANÇA

| ângulo de atrito (°) | 30 | 35 | 40 | 45 | 50 |
|----------------------|------|------|------|------|------|
| Coesão (Mpa) = 0,00 | 0,34 | 0,41 | 0,49 | 0,58 | 0,69 |
| 0,10 | 0,40 | 0,47 | 0,55 | 0,65 | 0,76 |
| 0,20 | 0,47 | 0,54 | 0,62 | 0,71 | 0,82 |
| 0,40 | 0,60 | 0,67 | 0,75 | 0,85 | 0,96 |
| 0,60 | 0,73 | 0,80 | 0,89 | 0,98 | 1,09 |
| 0,80 | 0,87 | 0,94 | 1,02 | 1,11 | 1,22 |
| 1,00 | 1,00 | 1,07 | 1,15 | 1,24 | 1,36 |



Flutuação:

Peso do maciço = 4151
Sub- pressão = 3092

FS = 4151/3092
FS = 1,342 > 1,30 OK

BARRAGEM DO CASTANHÃO

Caso 1A, Reservatório no nível máximo de regularização das enchentes

Aceleração horizontal = 0,07 g

AÇÃO SÍSMICA - MÉTODO SIMPLIFICADO DE CHOPRA

H_s (m) = 68,00

E (kg/cm^2) = 200.000

T_s = 0,19

H (m) = 63,0

H/H_s = 0,93

R_1 = 1,12 (Fig. 7)

$T's$ = 0,21

C (fps) = 4720

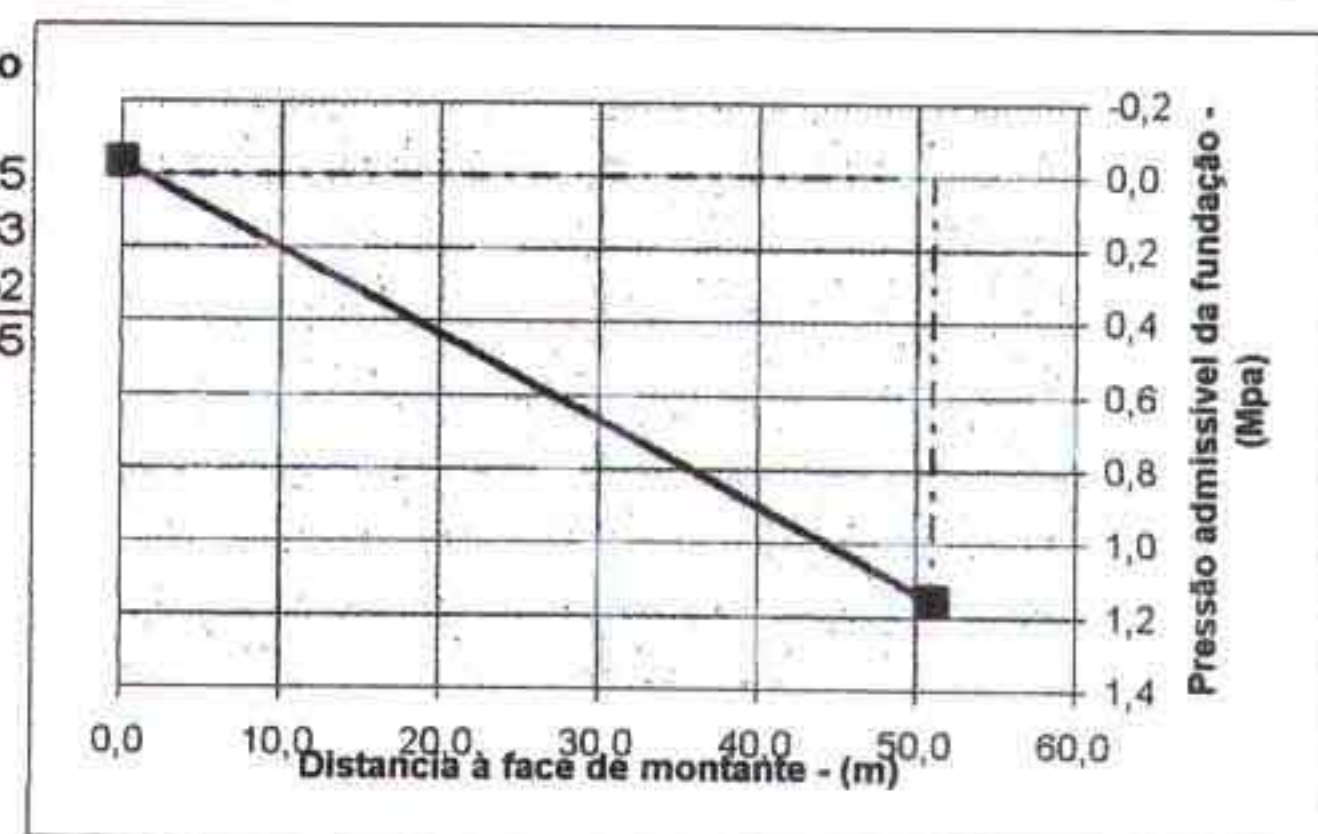
R_2 = 0,84

α_1 = 4,0

K_h (g) = 0,07

| Cotas | Y | largura | $w_s(y)$ | Y/Hs | Fig 6 | | Fig. 8 | | Força | Force*Y |
|-------|------|---------|----------|------|--------|------|--------|------|--------|---------|
| | | | | | Psi(y) | Y/H | gp1/wH | gp1 | | |
| 111,0 | 68,0 | 7,00 | 16,46 | 1,00 | 1,00 | | 0,00 | 0,00 | 4,61 | |
| 104,2 | 61,2 | 7,00 | 16,46 | 0,90 | 0,74 | 0,00 | 0,07 | 3,79 | 3,41 | 27,27 |
| 97,4 | 54,4 | 7,00 | 16,46 | 0,80 | 0,54 | 0,86 | 0,14 | 7,57 | 3,55 | 23,67 |
| 90,6 | 47,6 | 15,30 | 35,99 | 0,70 | 0,39 | 0,76 | 0,16 | 8,65 | 6,05 | 32,64 |
| 83,8 | 40,8 | 20,40 | 47,98 | 0,60 | 0,28 | 0,65 | 0,17 | 9,19 | 6,18 | 41,59 |
| 77,0 | 34,0 | 25,50 | 59,98 | 0,50 | 0,20 | 0,54 | 0,16 | 5,93 | 41,20 | 1541 |
| 70,2 | 27,2 | 30,60 | 71,97 | 0,40 | 0,14 | 0,43 | 0,16 | 8,65 | 5,24 | 38,00 |
| 63,4 | 20,4 | 35,70 | 83,97 | 0,30 | 0,09 | 0,32 | 0,15 | 8,11 | 4,39 | 32,75 |
| 56,6 | 13,6 | 40,80 | 95,96 | 0,20 | 0,05 | 0,22 | 0,15 | 8,11 | 3,61 | 27,21 |
| 49,8 | 6,8 | 45,90 | 107,96 | 0,10 | 0,02 | 0,11 | 0,15 | 8,11 | 2,88 | 22,07 |
| 43,0 | 0,0 | 51,00 | 119,95 | 0,00 | 0,00 | 0,00 | 0,15 | 8,11 | 2,27 | 225 |
| | | | | | | | | | 17,50 | 59 |
| | | | | | | | | | 303,88 | 10863 |
| | | | | | | | | | Y = | 35,75 |

| Carga | Vertical | Horizontal | Braço* | Momento |
|-----------------------------|-------------------------|-------------|--------|---------|
| Estática total | 3060 | 2003 | 29,85 | 91325 |
| Dinâmica Horiz. | | 304 | 35,75 | 10863 |
| Vert | -194 | | 16,77 | -3252 |
| | 2866 | 2307 | 34,52 | 98935 |
| Tombamento: | e = | 9,02 | | |
| | 6e/B = | 1,06 | | |
| Tensões Admissíveis: | | | | |
| | Kg/m² | Mpa | | |
| Montante | -3,44 | -0,03 | | |
| Jusante | 115,83 | 1,16 | | |



Deslocamento : Fator de Segurança

| Ângulo atrito | 30 | 35 | 40 | 45 | 50 | (graus) |
|---------------|------|------|------|------|------|---------|
| Coesão = 0,00 | 0,72 | 0,87 | 1,04 | 1,24 | 1,48 | |
| 0,10 | 0,94 | 1,09 | 1,26 | 1,46 | 1,70 | |
| 0,20 | 1,16 | 1,31 | 1,48 | 1,68 | 1,92 | |
| 0,40 | 1,60 | 1,75 | 1,93 | 2,13 | 2,36 | |
| 0,60 | 2,04 | 2,20 | 2,37 | 2,57 | 2,81 | |
| 0,80 | 2,49 | 2,64 | 2,81 | 3,01 | 3,25 | |
| 1,00 | 2,93 | 3,08 | 3,25 | 3,45 | 3,69 | |

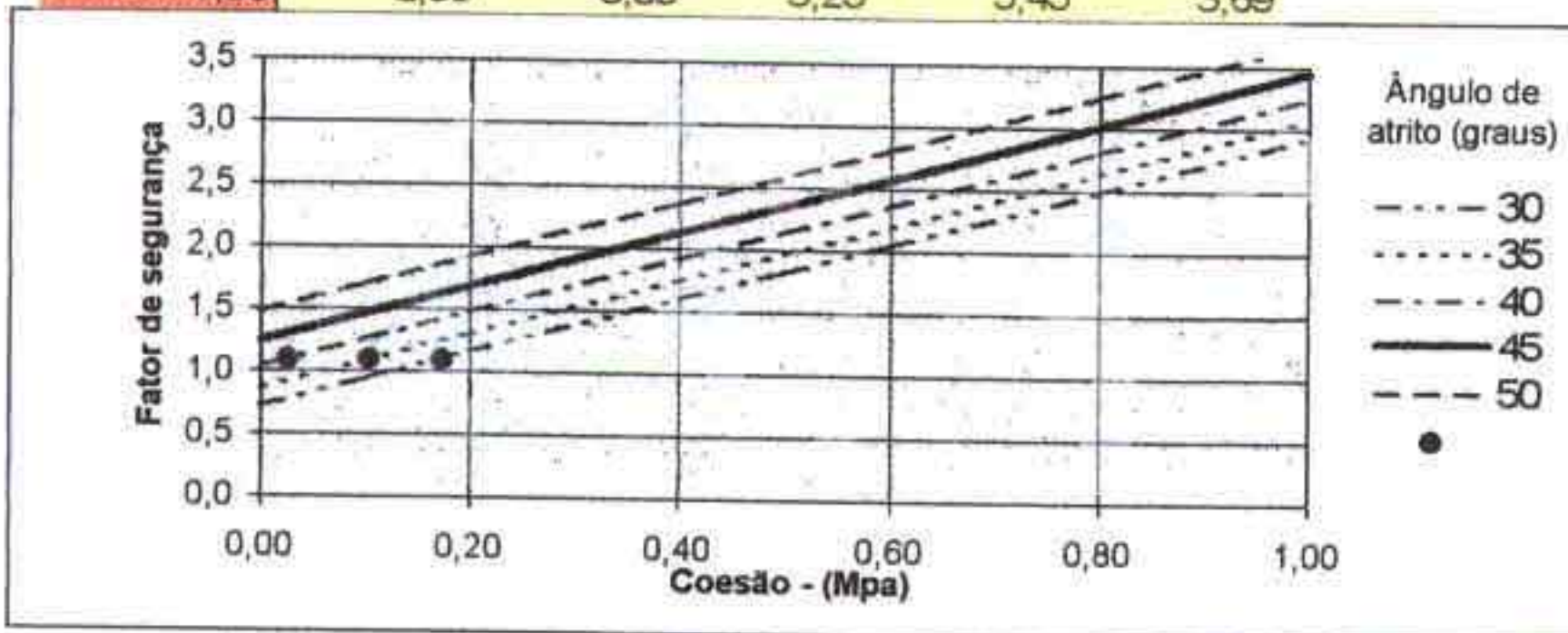
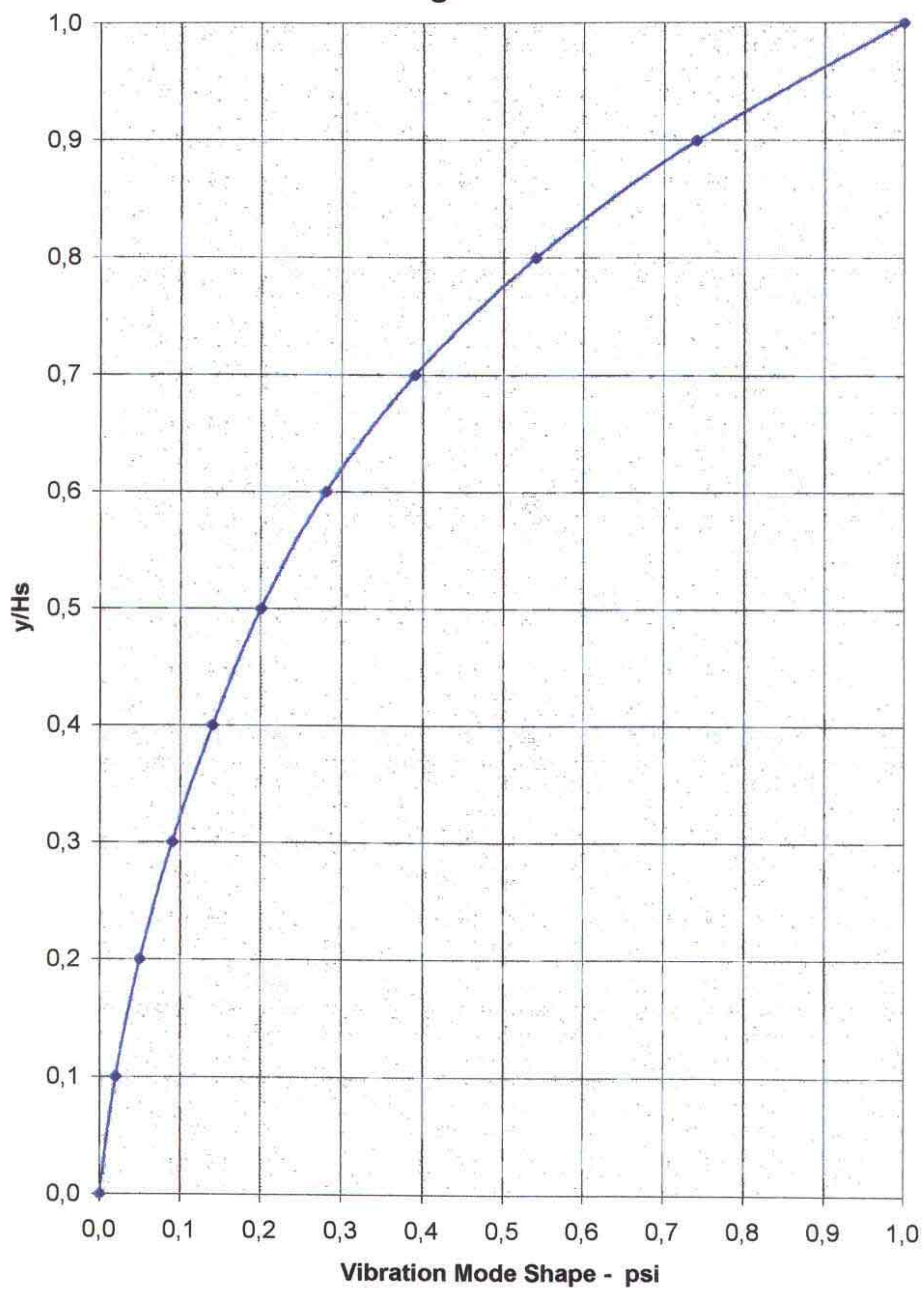


Figure 5



BARRAGEM DO CASTANHÃO

Caso 1A, Reservatório no nível máximo de regularização das enchentes

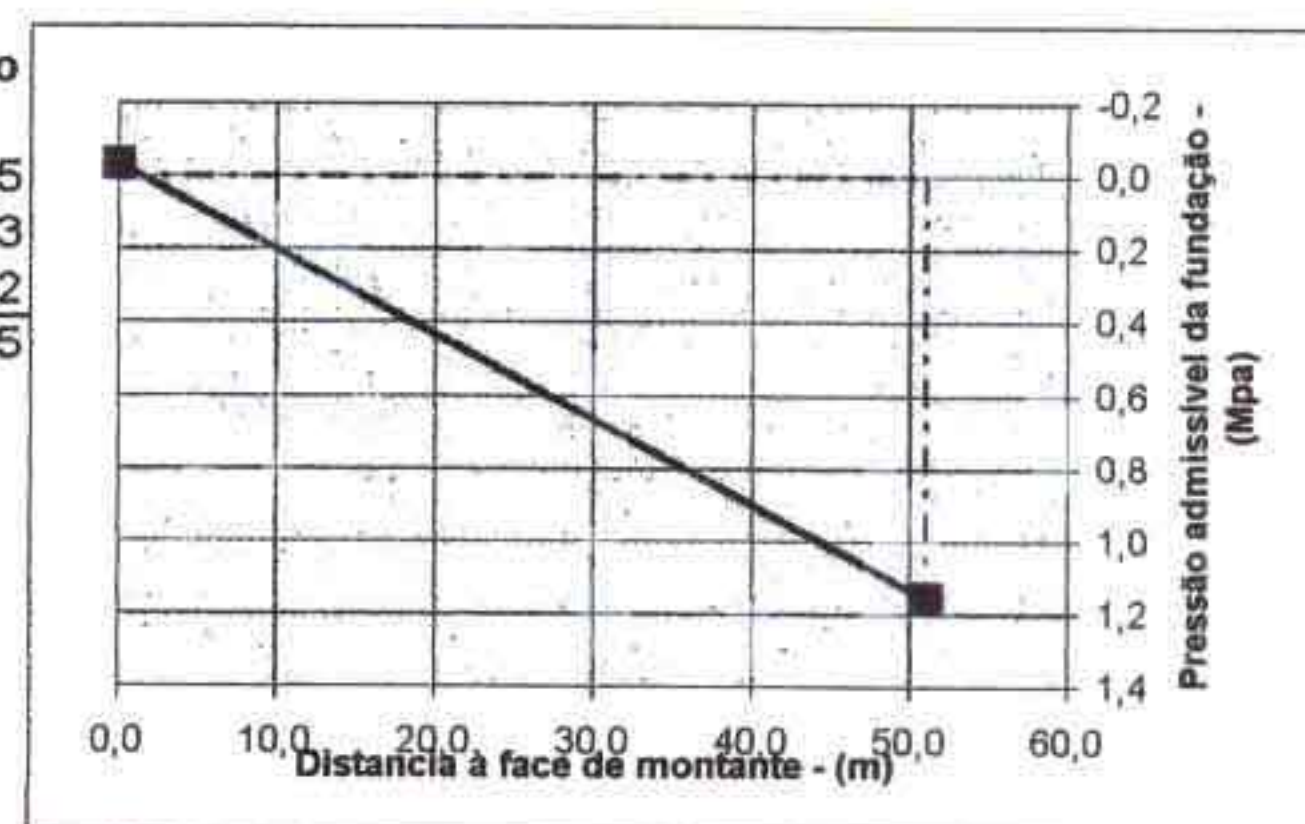
Aceleração horizontal = 0,07 g

AÇÃO SÍSMICA - MÉTODO SIMPLIFICADO DE CHOPRA

| | |
|---------------------------|---------------|
| Hs (m) = | 68,00 |
| E (kg/cm ²) = | 200.000 |
| Ts = | 0,19 |
| H (m) = | 63,0 |
| H/Hs = | 0,93 |
| R1 = | 1,12 (Fig. 7) |
| T's = | 0,21 |
| C (fps) = | 4720 |
| R2 = | 0,84 |
| Alpha1 = | 4,0 |
| Kh (g) = | 0,07 |

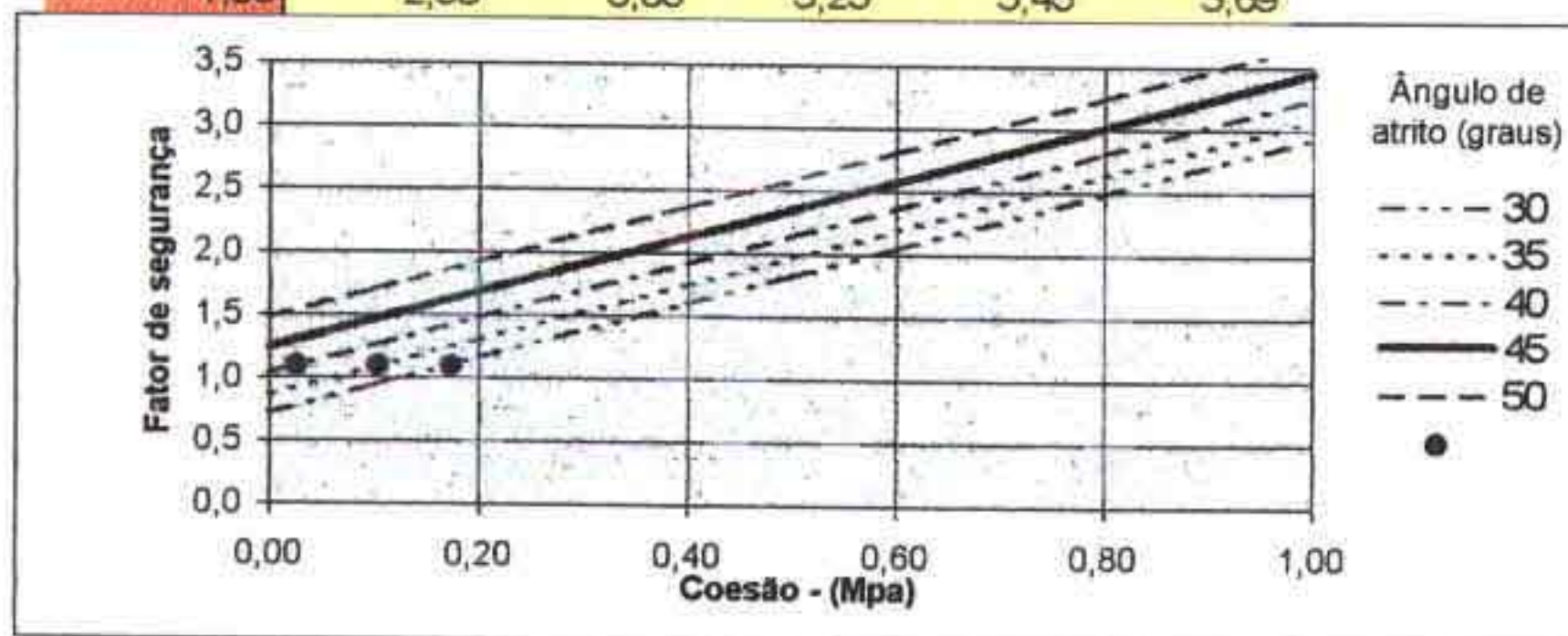
| Cotas | Y | largura | ws(y) | Y/Hs | Fig 6 | | Fig. 8 | | Força | Force*Y |
|-------|------|---------|--------|------|--------|------|--------|------|--------|---------|
| | | | | | Psi(y) | Y/H | gp1/wH | gp1 | | |
| 111,0 | 68,0 | 7,00 | 16,46 | 1,00 | 1,00 | | | | 4,61 | |
| 104,2 | 61,2 | 7,00 | 16,46 | 0,90 | 0,74 | 0,00 | 0,00 | 0,00 | 3,41 | 27,27 |
| 97,4 | 54,4 | 7,00 | 16,46 | 0,80 | 0,54 | 0,86 | 0,07 | 3,79 | 3,55 | 23,67 |
| 90,6 | 47,6 | 15,30 | 35,99 | 0,70 | 0,39 | 0,76 | 0,14 | 7,57 | 6,05 | 32,64 |
| 83,8 | 40,8 | 20,40 | 47,98 | 0,60 | 0,28 | 0,65 | 0,16 | 8,65 | 6,18 | 1838 |
| 77,0 | 34,0 | 25,50 | 59,98 | 0,50 | 0,20 | 0,54 | 0,17 | 9,19 | 5,93 | 41,20 |
| 70,2 | 27,2 | 30,60 | 71,97 | 0,40 | 0,14 | 0,43 | 0,16 | 8,65 | 5,24 | 38,00 |
| 63,4 | 20,4 | 35,70 | 83,97 | 0,30 | 0,09 | 0,32 | 0,15 | 8,11 | 4,39 | 32,75 |
| 56,6 | 13,6 | 40,80 | 95,96 | 0,20 | 0,05 | 0,22 | 0,15 | 8,11 | 3,61 | 27,21 |
| 49,8 | 6,8 | 45,90 | 107,96 | 0,10 | 0,02 | 0,11 | 0,15 | 8,11 | 2,88 | 22,07 |
| 43,0 | 0,0 | 51,00 | 119,95 | 0,00 | 0,00 | 0,00 | 0,15 | 8,11 | 2,27 | 225 |
| | | | | | | | | | 303,88 | 10863 |
| | | | | | | | | | Y = | 35,75 |

| Carga | Vertical | Horizontal | Braço* | Momento |
|--------------------|-----------------------------|------------|--------|---------|
| Estática total | 3060 | 2003 | 29,85 | 91325 |
| Dinâmica Horiz. | | 304 | 35,75 | 10863 |
| | -194 | | 16,77 | -3252 |
| | 2866 | 2307 | 34,52 | 98935 |
| Tombamento: | e = | 9,02 | | |
| | 6e/B = | 1,06 | | |
| | Tensões Admissíveis: | | | |
| | Kg/m ² | Mpa | | |
| | Montante | -3,44 | -0,03 | |
| | Jusante | 115,83 | 1,16 | |



Deslocamento :

| Fator de Segurança | | | | | |
|--------------------|------|------|------|------|------|
| Ângulo atrito | 30 | 35 | 40 | 45 | 50 |
| Coesão = 0,00 | 0,72 | 0,87 | 1,04 | 1,24 | 1,48 |
| 0,10 | 0,94 | 1,09 | 1,26 | 1,46 | 1,70 |
| 0,20 | 1,16 | 1,31 | 1,48 | 1,68 | 1,92 |
| 0,40 | 1,60 | 1,75 | 1,93 | 2,13 | 2,36 |
| 0,60 | 2,04 | 2,20 | 2,37 | 2,57 | 2,81 |
| 0,80 | 2,49 | 2,64 | 2,81 | 3,01 | 3,25 |
| 1,00 | 2,93 | 3,08 | 3,25 | 3,45 | 3,69 |

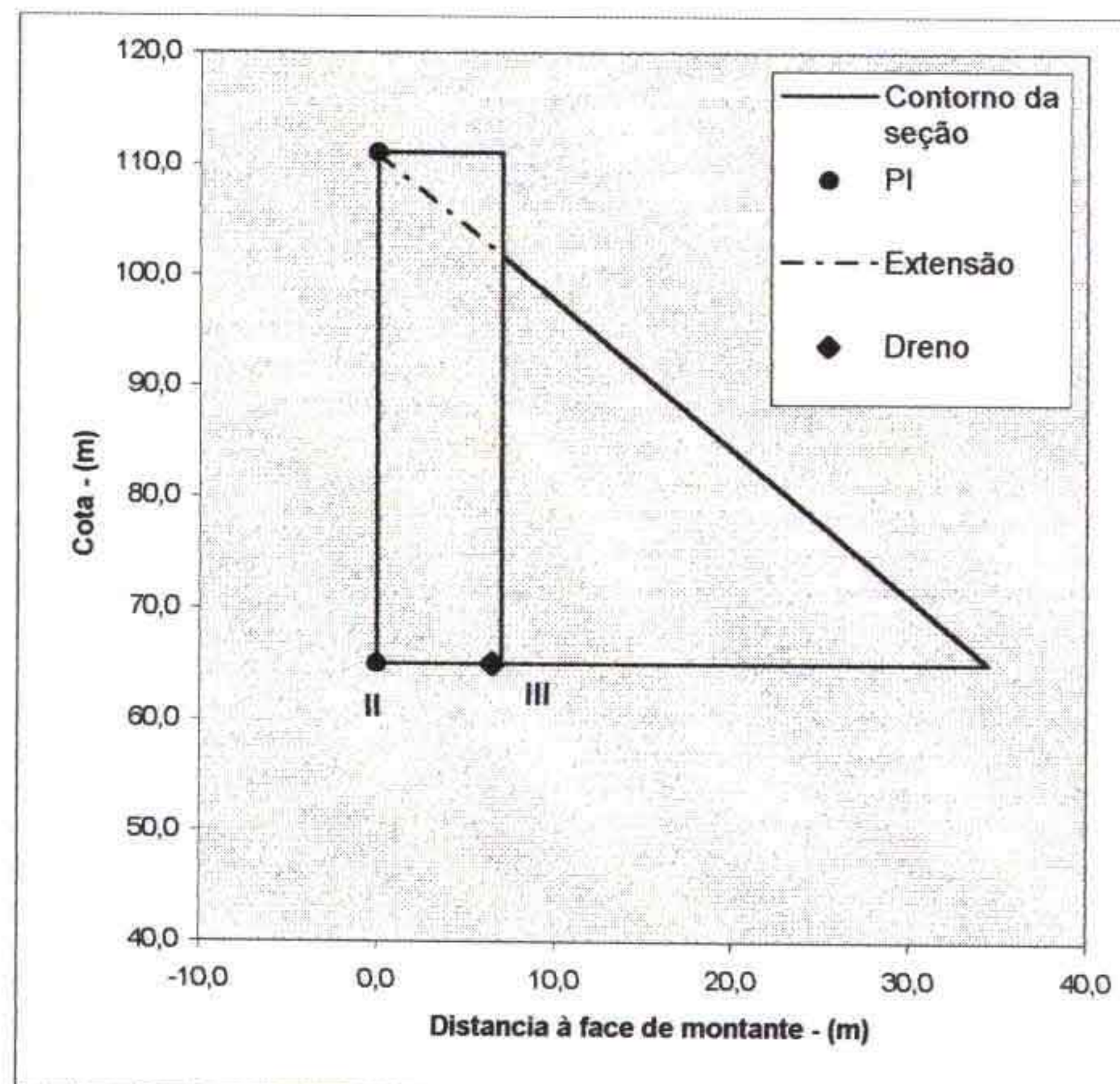


BARRAGEM DO CASTANHÃO

Caso 1A, Reservatório no nível máximo de regularização de enchentes/ cota fundação =65,0

| Geometria | Montante | Jusante | Base W | |
|----------------------------|----------|---------|--------|-----------------------|
| Cota da crista da barragem | 111,0 | 111,0 | | Crack Base 0 |
| Cota da fundação | 65,0 | 65,0 | | (à montante do dreno) |
| Largura da crista | 7,0 | | | |
| Cotas dos P.I. | 65,0 | 111,0 | | |
| Taludes | 0,00 | 0,750 | | |
| Largura da base | 0,00 | 34,5 | 34,5 | |
| Localização do dreno | | 6,5 | | |
| Eficiência do dreno | | 0,33 | | |

| Seção | k | W | H | Area | X | Momento | Y | Momento |
|-------|------|------|------|-------|-------|---------|-------|---------|
| I | 0,50 | 0,0 | 0,0 | 0,0 | 0,00 | 0 | 0,00 | 0 |
| II | 1,00 | 7,0 | 46,0 | 322,0 | 3,50 | 1127 | 23,00 | 7406 |
| III | 0,50 | 27,5 | 36,7 | 504,2 | 16,17 | 8151 | 12,22 | 6162 |
| | | | | 826,2 | 11,23 | 9278 | 16,42 | 13568 |

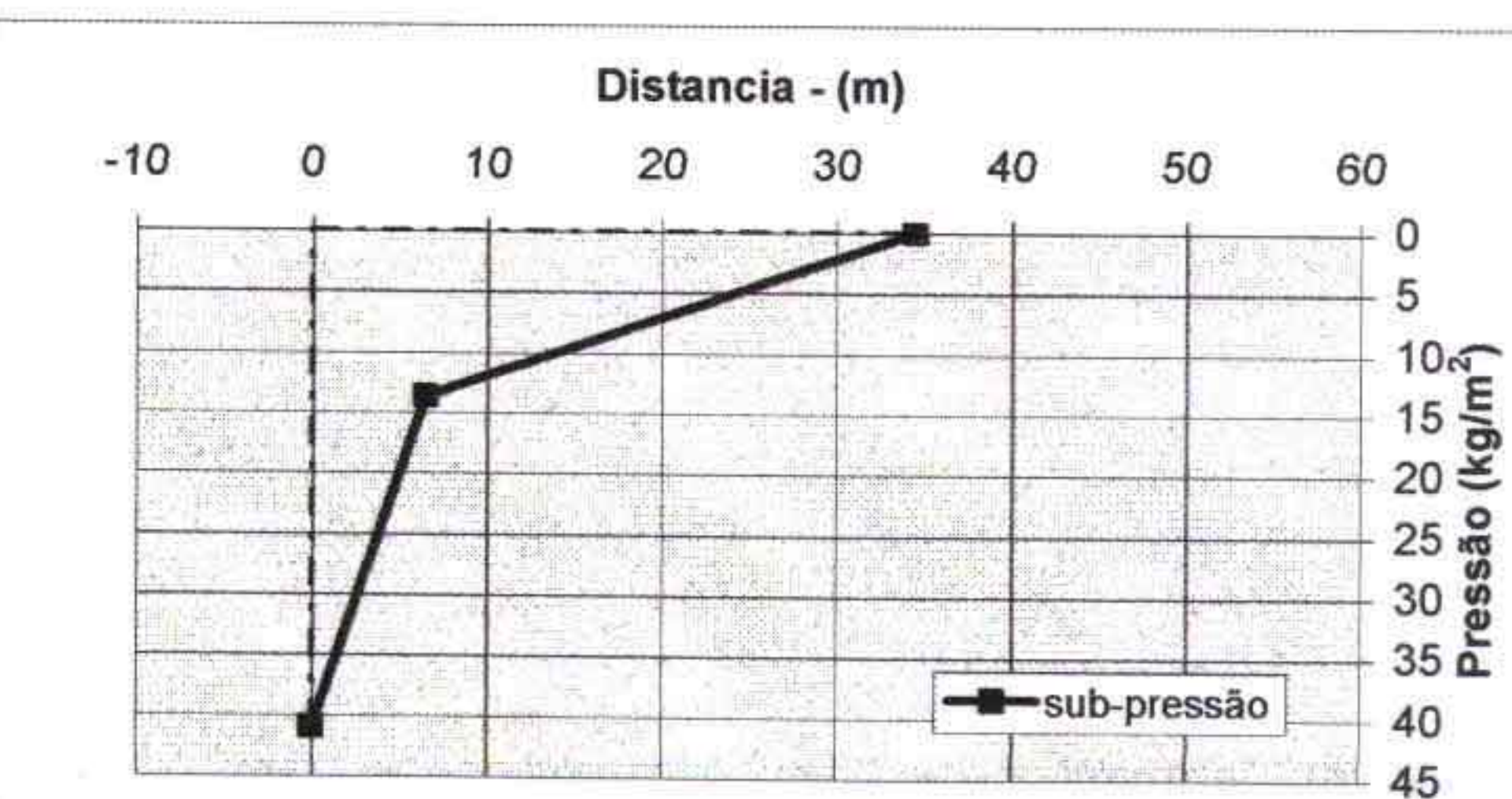
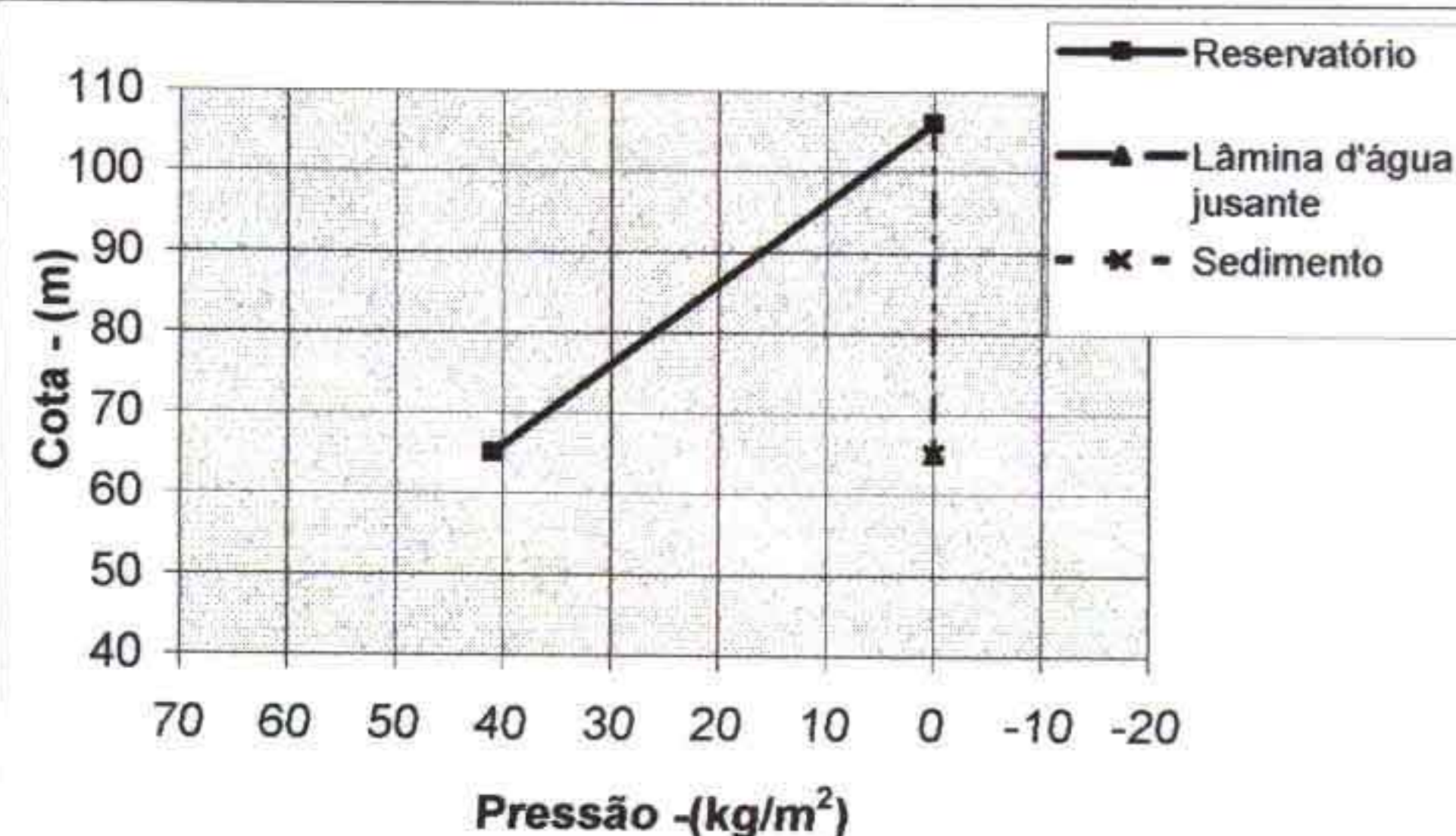


BARRAGEM DO CASTANHÃO

Caso 1A, Reservatório no nível máximo de regularização de enchentes/ cota fundação =65,0

| | Cotas | | Peso específico | |
|----------------------------|-------|------|--------------------|--------|
| Cota da crista da barragem | 106,0 | 65,0 | Concreto | 2,300 |
| Cota da fundação | 65,0 | | Sedimento | 1,700 |
| Cota do topo do sedimento | 65,0 | | Sedimento submerso | 0,7000 |
| Lâmina d'água | 41,0 | 0,0 | Água | 1,0000 |
| Altura do sedimento | 0,0 | | | |

| | Pressão | Altura | Força | Braço | F * A | |
|-----------------------------|---------|---------|-------|-------|-------|---|
| | | | | | k | W |
| Água no reservatório | 41,00 | 41,0 | 840,5 | 13,67 | | |
| Sedimento | 0,00 | 0,0 | 0,0 | 0,00 | | |
| Lâmina d'água a jusante | 0,00 | 0,0 | 0,0 | 0,00 | | |
| Talude de montante vertical | 0,50 | 0,00 | 0,00 | 0,0 | 0,00 | 0 |
| | 1 | 0,00 | 41,0 | 0,0 | 0,00 | 0 |
| | | | | 0,0 | 0,00 | 0 |
| Sub-pressão | Pressão | Largura | Força | Braço | F * A | |
| U1 | 0,00 | 34,5 | 0,0 | 17,25 | 0 | |
| U2 | 13,67 | 6,5 | 88,8 | 3,25 | 289 | |
| U3 | 27,33 | 6,5 | 88,8 | 2,17 | 192 | |
| U3a | 27,33 | 0,0 | 0,0 | 0,00 | 0 | |
| U4 | 13,67 | 28,0 | 191,3 | 15,83 | 3029 | |
| | | | 369,0 | 9,51 | 3511 | |



BARRAGEM DO CASTANHÃO

Stress Conversion: 100

Caso 1A, Reservatório no nível máximo de regularização de enchentes/ cota fundação =65,0

Resumo das cargas resultantes

| Carga | Vertical | Horizontal | Braço* | Momento |
|-------------------------|----------|------------|--------|---------|
| Peso do maciço | 1900 | | 11,23 | 21339 |
| Água no reservatório | | | | |
| Horizontal | | 841 | 13,67 | 11487 |
| Vertical | 0 | | 0,00 | 0 |
| Lâmina d'água a jusante | | | | |
| Horizontal | | 0 | 0,00 | 0 |
| Vertical | 0 | | 34,50 | 0 |
| Sedimento | | 0 | 0,00 | 0 |
| Sub-pressão | -369 | | 9,51 | -3511 |
| Totais | 1531 | 841 | 19,15 | 29315 |

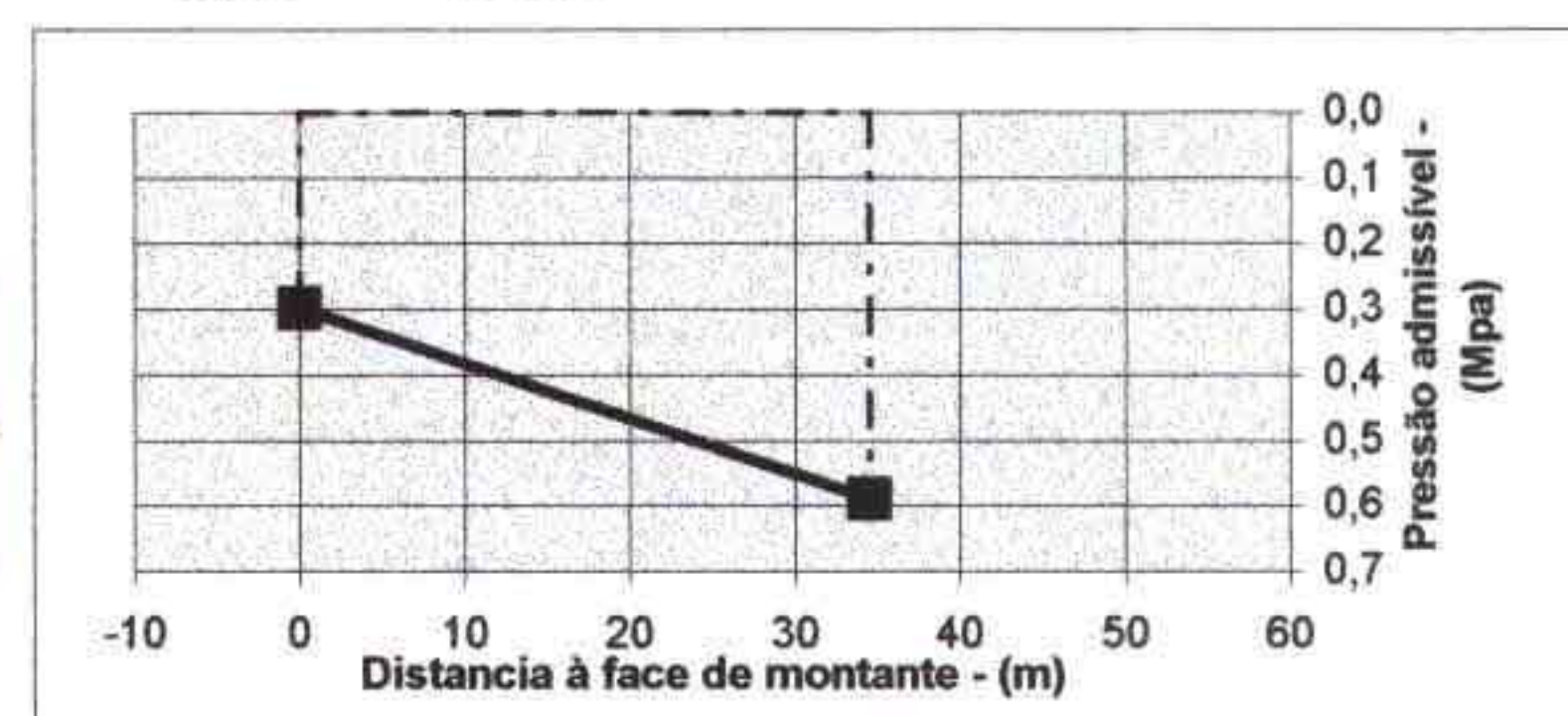
* Braço medido apartir da face de montante, positivo no sentido jusante

Tombamento

$$e = 1,90$$

$$6e/B = 0,33$$

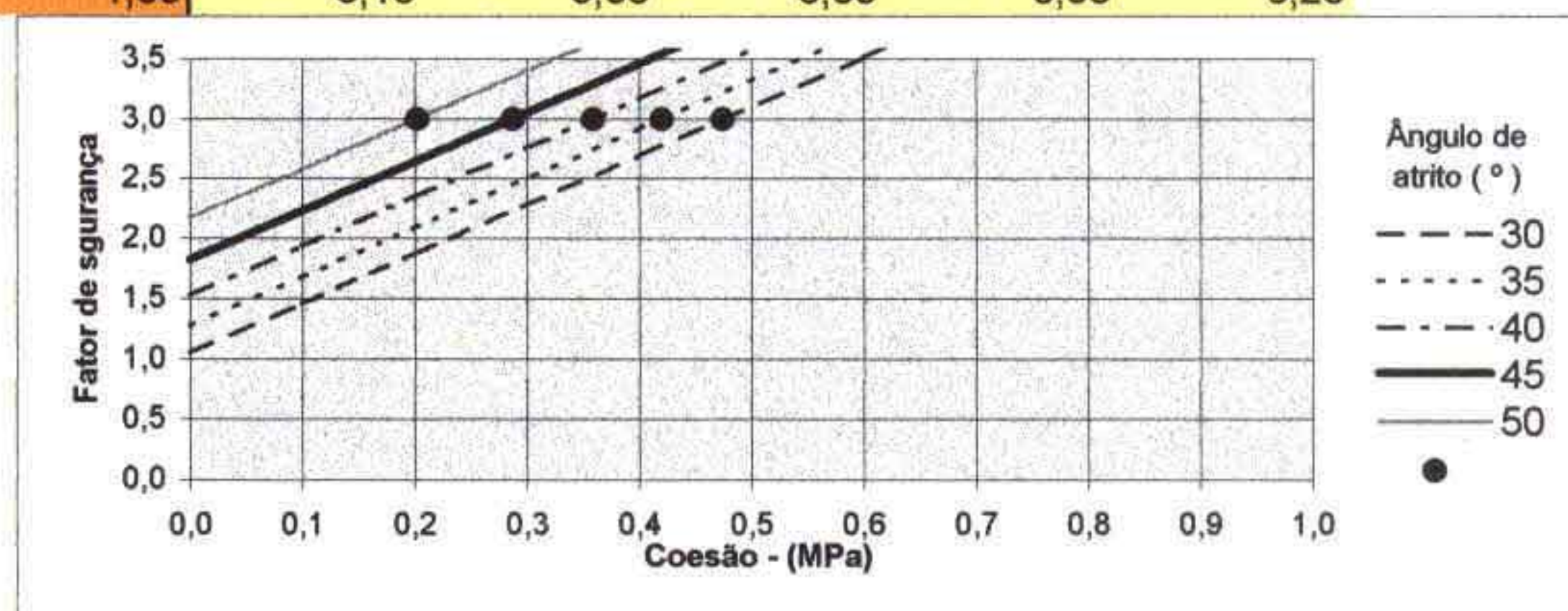
| Tensões admissíveis | | |
|---------------------|-------------------|------|
| | Kg/m ² | Mpa |
| Montante | 29,75 | 0,30 |
| Jusante | 59,01 | 0,59 |



Escorregamento

Fator de segurança

| Ângulo de atrito = | 30 | 35 | 40 | 45 | 50 |
|--------------------|------|------|------|------|------|
| Cosão = | 0,00 | 1,05 | 1,28 | 1,53 | 1,82 |
| Mpa | 0,10 | 1,46 | 1,69 | 1,94 | 2,23 |
| | 0,20 | 1,87 | 2,10 | 2,35 | 2,64 |
| | 0,40 | 2,69 | 2,92 | 3,17 | 3,46 |
| | 0,60 | 3,51 | 3,74 | 3,99 | 4,28 |
| | 0,80 | 4,34 | 4,56 | 4,81 | 5,11 |
| | 1,00 | 5,16 | 5,38 | 5,63 | 5,93 |



BARRAGEM DO CASTANHÃO

Caso 1A, Reservatório no nível máximo de regularização de enchentes/ cota fundação =65,0

Aceleração horizontal = 0,07 g

AÇÃO SÍSMICA - MÉTODO SIMPLIFICADO DE CHOPRA

H_s (m) = 46,00

E (kg/cm²) = 200.000

T_s = 0,13

H (m) = 41,0

H/H_s = 0,89

R_1 = 1,12 (Fig. 7)

T_s' = 0,14

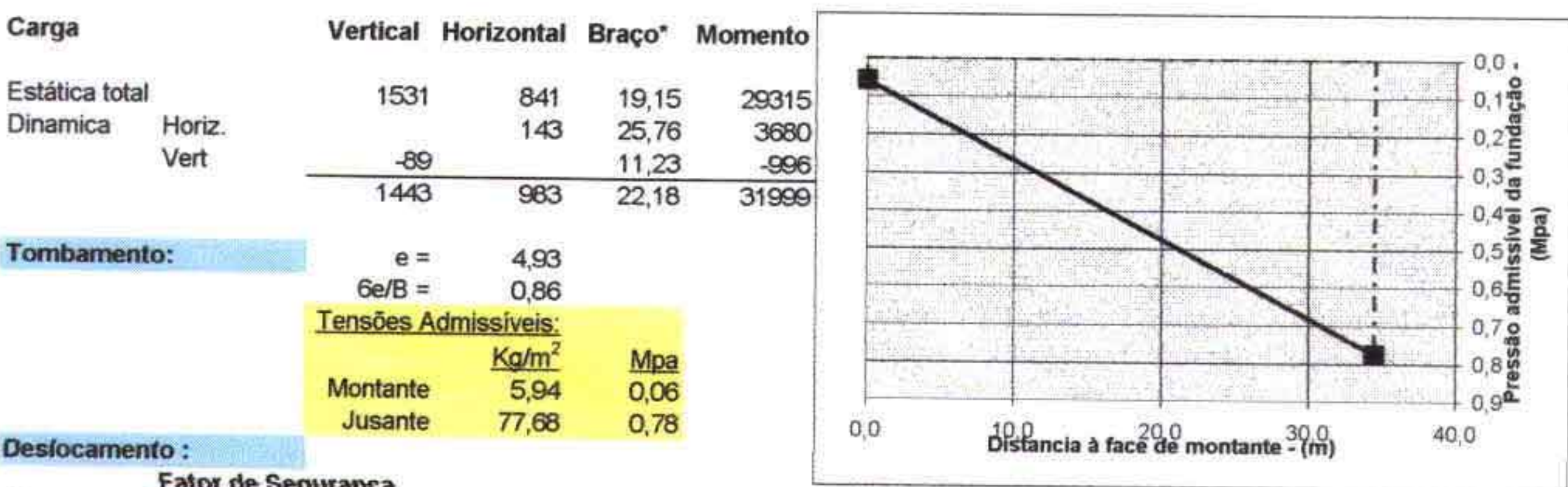
C (fps) = 4720

R_2 = 0,81

α_1 = 4,0

K_h (g) = 0,07

| Cotas | Y | largura | ws(y) | Y/Hs | Fig 6 | | Fig. 8 | | Força | Force*Y |
|-------|------|---------|-------|------|--------|------|--------|------|--------|---------|
| | | | | | Psi(y) | Y/H | gp1/wH | gp1 | | |
| 111,0 | 46,0 | 7,00 | 16,10 | 1,00 | 1,00 | | 0,00 | 0,00 | 4,51 | |
| 106,4 | 41,4 | 7,00 | 16,10 | 0,90 | 0,74 | 0,00 | 0,00 | 0,00 | 3,34 | 18,04 |
| 101,8 | 36,8 | 7,00 | 16,10 | 0,80 | 0,54 | 0,90 | 0,07 | 2,28 | 3,07 | 14,74 |
| 97,2 | 32,2 | 10,35 | 23,81 | 0,70 | 0,39 | 0,79 | 0,14 | 4,56 | 3,88 | 15,98 |
| 92,6 | 27,6 | 13,80 | 31,74 | 0,60 | 0,28 | 0,67 | 0,16 | 5,21 | 3,95 | 18,00 |
| 88,0 | 23,0 | 17,25 | 39,67 | 0,50 | 0,20 | 0,56 | 0,17 | 5,54 | 3,77 | 17,76 |
| 83,4 | 18,4 | 20,70 | 47,61 | 0,40 | 0,14 | 0,45 | 0,16 | 5,21 | 3,33 | 16,32 |
| 78,8 | 13,8 | 24,15 | 55,54 | 0,30 | 0,09 | 0,34 | 0,15 | 4,89 | 2,77 | 14,01 |
| 74,2 | 9,2 | 27,60 | 63,48 | 0,20 | 0,05 | 0,22 | 0,15 | 4,89 | 2,26 | 11,56 |
| 69,6 | 4,6 | 31,05 | 71,41 | 0,10 | 0,02 | 0,11 | 0,15 | 4,89 | 1,77 | 9,26 |
| 65,0 | 0,0 | 34,50 | 79,35 | 0,00 | 0,00 | 0,00 | 0,15 | 4,89 | 1,37 | 64 |
| | | | | | | | | | 7,21 | 17 |
| | | | | | | | | | 142,88 | 3680 |
| | | | | | | | | | Y = | 25,76 |



Deslocamento :

Fator de Segurança

| Ângulo atrito | 30 | 35 | 40 | 45 | 50 | (graus) |
|---------------|------|------|------|------|------|---------|
| Coesão = 0,00 | 0,85 | 1,03 | 1,23 | 1,47 | 1,75 | |
| 0,10 | 1,20 | 1,38 | 1,58 | 1,82 | 2,10 | |
| 0,20 | 1,55 | 1,73 | 1,93 | 2,17 | 2,45 | |
| 0,40 | 2,25 | 2,43 | 2,63 | 2,87 | 3,15 | |
| 0,60 | 2,95 | 3,13 | 3,34 | 3,57 | 3,85 | |
| 0,80 | 3,65 | 3,83 | 4,04 | 4,27 | 4,55 | |
| 1,00 | 4,36 | 4,54 | 4,74 | 4,98 | 5,26 | |

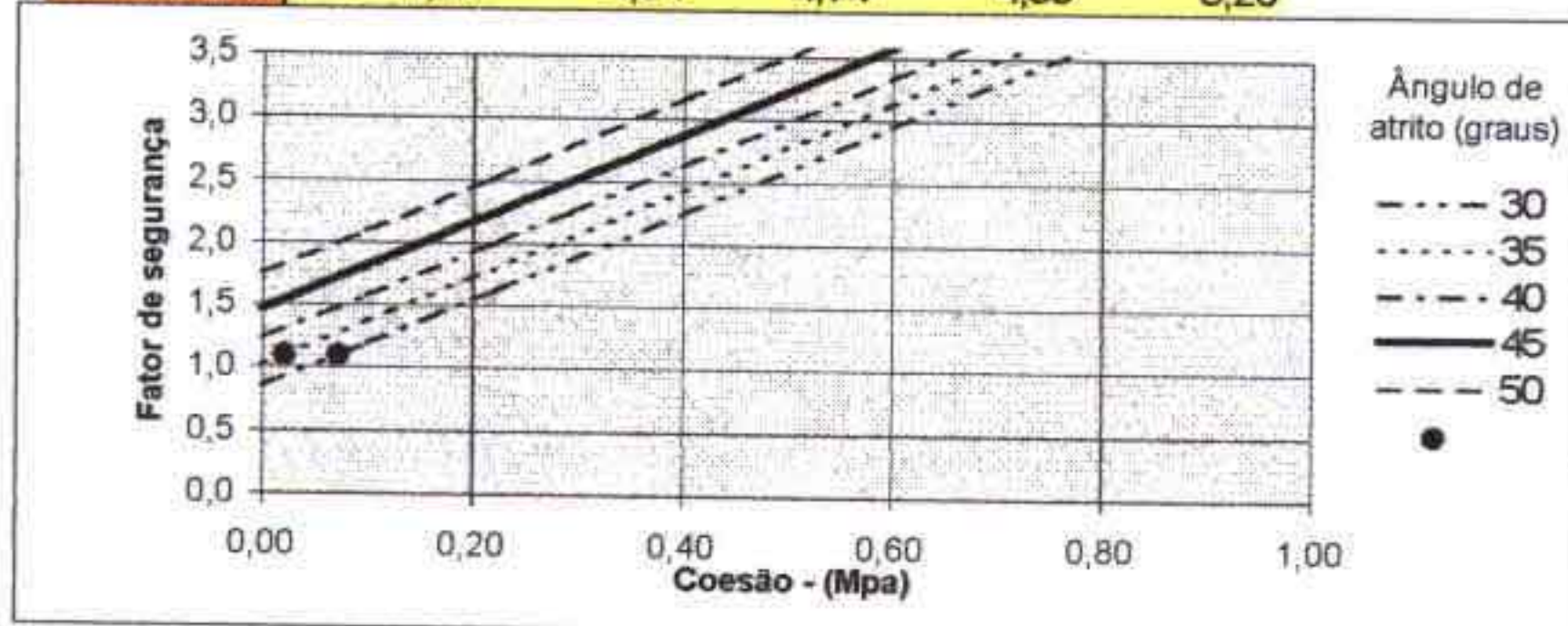
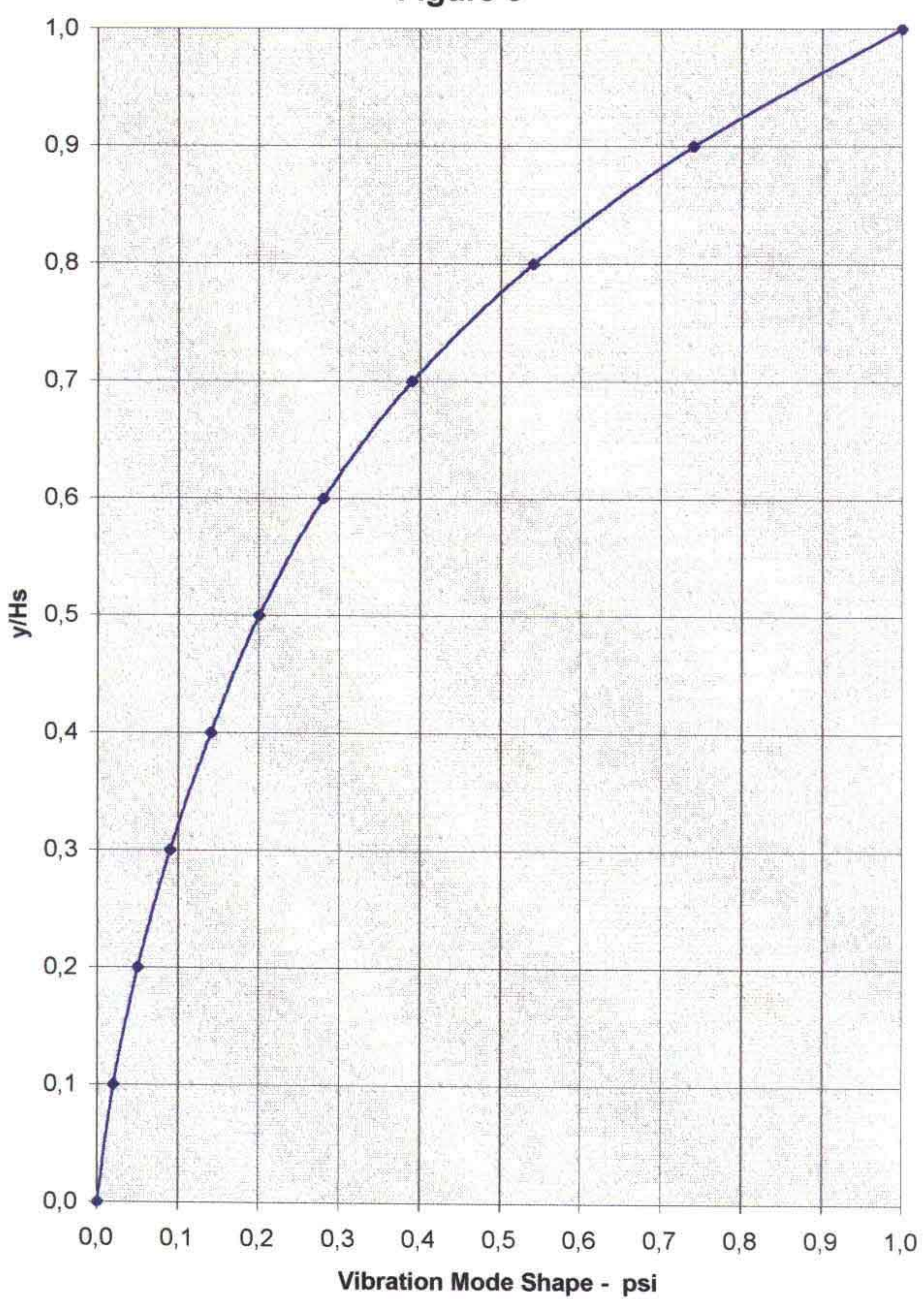
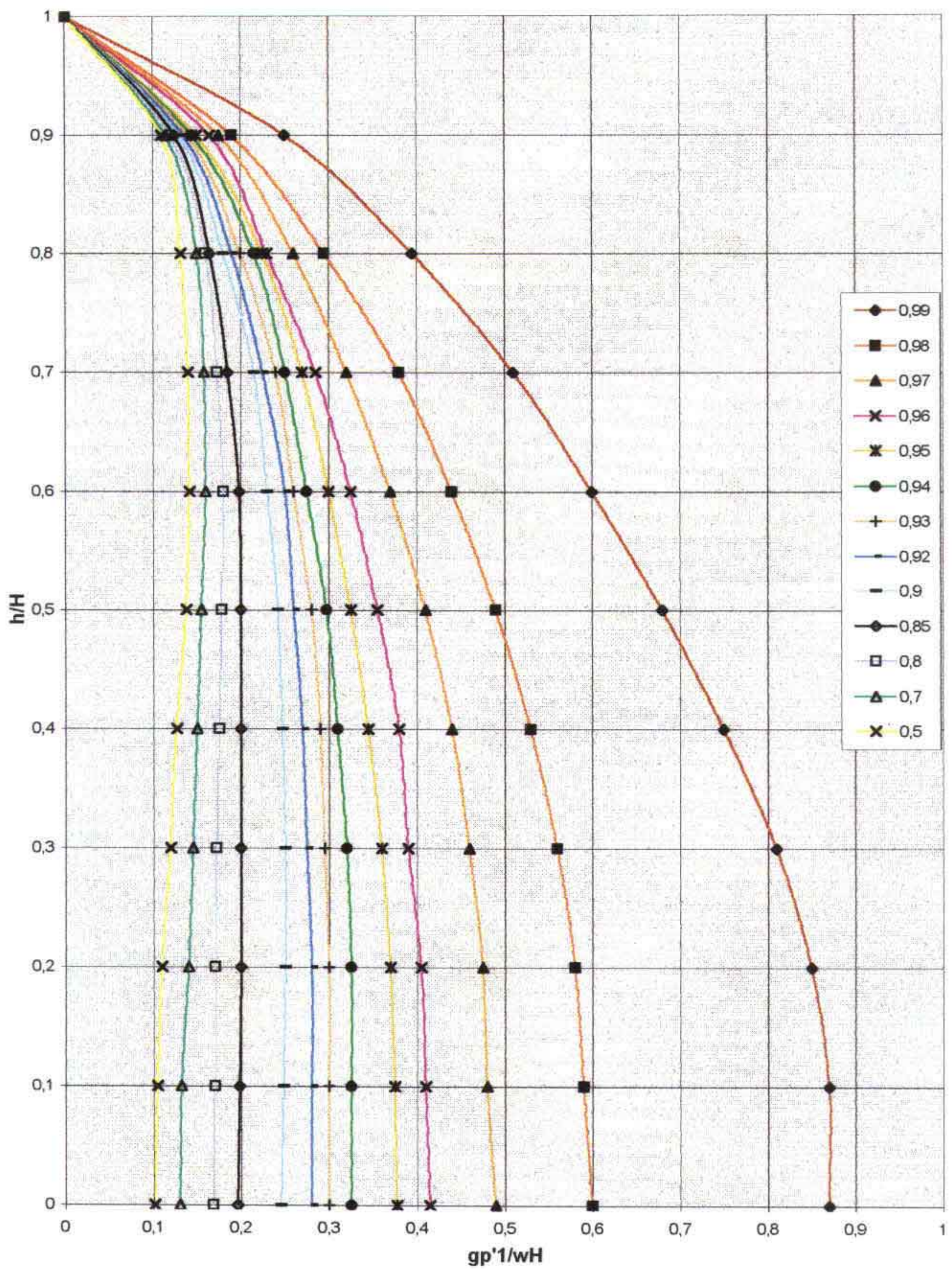


Figure 5





Estabilidade 1A, 3 -65,00/Fig 7

000034

3. CÁLCULO HIDROLÓGICO E HIDRÁULICO PARA O DIMENSIONAMENTO DA ENSECADEIRA

3. CALCULO HIDROLÓGICO E HIDRAULICO PARA O DIMENSIONAMENTO DA ENSECADEIRA DO CASTANHÃO

3.1. INTRODUÇÃO

O processo de construção de uma barragem do porte do Castanhão requer que se planeje, com muito cuidado, o processo construtivo, dividindo-o em fases e avaliando riscos envolvidos em obras provisórias. A decisão de como dividir a construção em fases e como projetar o desvio do rio depende das condições topográficas e geológicas do local da obra e ainda do regime hidrológico do rio. Via de regra, a construção de uma ensecadeira torna-se indispensável.

O Projeto proposto pela ENGESOFT prevê a construção de um endicamento encravado na ombreira direita e outro na ombreira esquerda, proporcionando a passagem das águas do rio Jaguaribe em uma seção estrangulada na zona central do leito do rio, por sobre uma seção vertedoura da barragem de CCR.

A determinação da cota superior do dique e da largura da seção vertedoura devem contemplar três aspectos básicos:

- 1) O aspecto hidrológico com vistas a definir as cheias do projeto e os riscos de transbordamento do dique,
- 2) O aspecto hidráulico com vistas a definir a seção de escoamento da cheia de projeto e a proteção do material do dique contra as altas velocidades da água ocasionadas pelo estrangulamento da seção,
- 3) O aspecto ambiental com vistas a propiciar avaliações preliminares de consequências de uma possível ruptura do dique.

O presente relatório procura analisar os três aspectos citados juntamente com os aspectos econômicos e construtivos, a serem desenvolvidos, propiciar elementos para uma correta tomada de decisão.

O relatório é composto três partes: primeiramente apresentam-se os estudos hidrológicos; em seguida analisam-se alternativas da seção de escoamento para diferentes vazões e seções transversais; finalmente apresentam-se considerações sobre os aspectos ambientais.

3.2. ASPECTOS HIDROLÓGICOS

Os elementos hidrológicos necessários aos estudos consiste em determinar cheias de projeto para diferentes períodos de retorno. Duas condições são apresentadas:

- a) as cheias do Projeto do DNOS para períodos de retorno de 10, 20, 25 e 50 anos,
- b) em um segundo instante apresentam-se as cheias reduzidas por um coeficiente para levar em consideração que o açude Orós, ao inicio de 2000, deverá estar com um armazenamento bem abaixo de sua capacidade

As Cheias Do Projeto

O estudo hidrológico do Castanhão, desenvolvido pelo DNOS, analisou os picos de cheia do Rio Jaguaribe para 10, 20, 25, 50, 100 e 1.000 anos. Os valores das vazões de pico desses hidrogramas estão apresentados na Tabela 1. Deve-se observar que essas vazões foram avaliadas sob a premissa do reservatório do Orós encontrar-se cheio no inicio do escoamento do hidrograma. Para efeito do presente estudo somente interessam as cheias referentes a períodos de retorno de 50 anos ou inferiores.

Tabela 1 – Vazões máximas escoadas no Rio Jaguaribe em Castanhão para vários períodos de retorno

| Período de retorno (anos) | Vazão máxima (m³/s) |
|---------------------------|---------------------|
| 10 | 2.941 |
| 20 | 3.928 |
| 25 | 4.228 |
| 50 | 5.356 |

FONTE DNOS Estudos hidrológicos de Açude Castanhão

Redução do pico de cheia pelo Orós

O açude Orós encontra-se atualmente com 29,4% de sua capacidade, ou seja, um volume acumulado de **470,4** hm³. Considerando-se que as liberações do açude devem continuar até o final do ano, a expectativa é que ao inicio do ano 2000 o volume estocado esteja em cerca de 400 hm³ equivalendo a cerca de 21% da capacidade do reservatório.

Considerando-se que o Orós tem uma capacidade de 1950 hm³, o mesmo chegará ao inicio do próximo ano com capacidade de absorver 1 550 hm³ de escoamento no Jaguaribe antes de começar a sangrar

Representando-se o escoamento anual em Orós por uma função densidade gama com parâmetros μ (deflúvio médio) igual a 821,88 hm³/ano e coeficiente de variação $CV = 1,24$, pode-se estimar que há uma probabilidade de 83,4 % do Orós não sangrar no próximo ano

Nesse caso, a área de formação de cheias no Castanhão passaria de 44.850 km² para 20312 km² com a exclusão do 24.538 km² da bacia controlada pelo Orós.²

Como primeira estimativa, poder-se-ia estimar a redução de vazão proporcional à área de escoamento e à lâmina. Assim o fator de redução seria

$$fr = \frac{44\ 850 - 24\ 538}{44\ 850} = \frac{20\ 312}{44\ 850} = 0,43$$

Encontrou-se, dessa maneira, as seguintes vazões de pico reduzidas (Tabela 2)

Tabela 2 - Vazões máximas e vazões reduzidas no rio Jaguaribe em Castanhão para vários períodos de retorno

| Período de retorno (anos) | Vazão máxima (m³/s) | Vazão reduzida (m³/s) |
|---------------------------|---------------------|-----------------------|
| 10 | 2.941 | 1.323 |
| 20 | 3.928 | 1.768 |
| 25 | 4.228 | 1.903 |
| 50 | 5.356 | 2.410 |

Dessa forma, pode-se fazer a seguinte leitura dos valores da Tabela 2:

- 1) As vazões reduzidas referem-se às probabilidades respectivas desde que o Orós não esteja sangrando.

² Um estudo probabilístico mais refinado levaria a valores inferiores das vazões máximas, todavia o tempo disponível não permite esse aprofundamento metodológico

2) As vazões máximas referem-se ao cenário após o enchimento total do Orós

3.3. OS ESTUDOS HIDRÁULICOS DA SEÇÃO ESTRANGULADA

Pelos estudos das possibilidade de produção e lançamento de CCR, com os equipamentos disponíveis chegou-se a conclusão que a largura máxima da seção vertedoura que poderá ser construída é de 200 metros

Para essa largura foram realizadas simulações do escoamento na seção estrangulada do rio Jaguaribe na fase de construção para o primeiro semestre do ano de 2000.

Para esto utilizou-se a expressão de vertedouro retangular de parede delgada e sem contração, que é

$$Q = K \cdot L \cdot H^3$$

onde: $K = -1,5$

L = largura da soleira (200 m)

H = altura acima da cota da soleira (m)

Na tabela 7.3 a seguir são apresentados os resultados obtidos para a situação do Açude Orós sangrando e para nenhuma construção deste nessa simulação foi considerada a soleira na cota 57,00.

Tabela 7.3 – Simulação do escoamento da seção estrangulada do rio Jaguaribe, com 200 m de largura, na estação chuvosa de 2000.

| Vazão (m³/s) | T. Reserv. (mm) | Vazão (m³/s) | Largura (m) | Nível (m) |
|-------------------------|-----------------|--------------|-------------|-----------|
| Orós sem Sangria | | | | |
| 1323 | 19 | 2,46 | 2,69 | 59,59 |
| 1768 | 20 | 2,71 | 3,26 | 60,26 |
| 1903 | 25 | 2,77 | 3,43 | 60,43 |
| 2410 | 50 | 3,00 | 4,01 | 61,01 |
| Orós com Sangria | | | | |
| 2941 | 10 | 3,21 | 4,58 | 61,58 |
| 3928 | 20 | 3,54 | 5,35 | 62,55 |
| 4228 | 25 | 3,62 | 5,83 | 62,83 |
| 5366 | 50 | 3,92 | 6,43 | 63,43 |

3.4. OS ASPECTOS AMBIENTAIS:

No aspecto ambiental pode-se questionar qual será o impacto da enseadeira nos meios físicos e antrópicos das margens do rio Jaguaribe

Deve ser considerado que o dimensionamento está se fazendo dentro de uma vazão de escoamento de baixo período de retorno. O remanso ocasionado pelo estrangulamento, elevando o nível das águas para as cotas mostradas nas tabela 7 a 3 é insignificante quando comparado com as cotas da águas após a conclusão da barragem. Nesses aspecto o cuidado a tomar é fazer com que as áreas ribeirinhas, até a cota da crista da enseadeira, sejam desocupadas antes do início da quadra invernal.

Um segundo problema seria uma possível formação de uma onda de cheia com o rompimento da enseadeira. Essa onda se propagaria para jusante e teria um efeito surpresa junto as populações ribeirinhas. Nessa situação, como medida cautelar, poder-se-ia estimar as áreas a serem atingidas e antecipar qualquer deslocamento da população. Um monitoramento da enseadeira e das vazões e condições de pluviosidade seriam medidas necessárias e, se corretamente aplicada, também eficazes.

3.5. CONSIDERAÇÕES FINAIS E CONCLUSÕES:

Os estudos hidrológicos e hidráulicos desenvolvidos neste relatório tiveram por base a cartografia disponível na escala 1.25000. Algumas estudos de sensibilidade mostraram que esta escala seria suficientemente precisa para o desenvolvimento do projeto.

A decisão a ser tomada envolve um processo de trocas (trade-off) da seguinte maneira quanto maior o período de retorno adotado, maior será a segurança na execução da barragem, maiores serão os custos com a enseadeira, e maiores serão os riscos ambientais com a formação súbita de uma onda de cheia (flash flood).

Em concordância com a Fiscalização da SRH foi adotado para o cálculo das cotas das enseadeiras um tempo de recorrência de 50 anos, sem a contribuição do açude do Orós.

4. DIMENSIONAMENTO DA GALERIA DE DESCARGA

4. DIMENSIONAMENTO DA GALERIA DE DESCARGA

Com a finalidade de propiciar uma vazão a jusante da barragem do Castanhão, após a estação chuvosa de 2000 de forma a atender a atual demanda suprida pelo DNOCS, estudou-se duas alternativas que, basicamente, são

- a) Descarga pela galeria da tomada d'água, já executada e com previsão de funcionamento dos equipamentos hidromecânicos no final de abril/2000. Essa galeria constitui-se de duas linhas de tubos, com diâmetro de 3,70 m e com cota de fundo na 57,00 Poderá ser utilizada apenas uma linha de duto ou ambas
- b) Descarga por uma galeria de descarga de fundo, a ser construída na seção da barragem de CCR, na cota 52,50 m.

Em seguida calculou-se para diversas vazões as cotas que alcançariam as lâminas para efeito de concepção do esquema de desvio, com cotas necessárias de enseramento e as dimensões das galerias para suprir essas vazões.

4.1. ESCOAMENTO PELA GALERIA DA TOMADA D'ÁGUA

Para diversas vazões regularizadas calculou-se as cargas hidráulicas necessárias e consequentemente a cota do nível d'água alcançado no reservatório, utilizando-se a seguinte expressões de tubos curtos:

$$Q = cd A \sqrt{2g H}$$

onde:

| |
|---------------------------------------|
| Q = vazão em m^3/s |
| A = área de escoamento, em m^2 |
| g = 9,8 m/s^2 |
| H = carga inicial disponível, em um |
| Cd - coeficiente de descarga |

Nas tabelas 4.1 e 4.2 são apresentados os resultados para o caso de um e dois dutos em funcionamento.

Tabela 4.1 – Escoamento pela galeria da tomada d’água com um duto de $\phi 3,70\text{ m}$

| Área do Duto (m^2) | Cx | Vazão (m^3/s) | Carga Hidráulica (m) | Cota da Lâmina (m) |
|-------------------------------|------|---------------------------------|----------------------|--------------------|
| 10,75 | 0,60 | 15,00 | 0,28 | 60,98 |
| 10,75 | 0,60 | 16,00 | 0,31 | 61,01 |
| 10,75 | 0,60 | 17,00 | 0,35 | 61,05 |
| 10,75 | 0,60 | 18,00 | 0,39 | 61,10 |
| 10,75 | 0,60 | 19,00 | 0,44 | 61,14 |
| 10,75 | 0,60 | 20,00 | 0,49 | 61,19 |
| 10,75 | 0,60 | 50,00 | 3,06 | 63,76 |

Tabela 4.2 – Escoamento pela galeria da tomada d’água com dois dutos de $\phi 3,70\text{ m}$

| Área do Duto (m^2) | Cx | Vazão (m^3/s) | Carga Hidráulica (m) | Cota da Lâmina (m) |
|-------------------------------|------|---------------------------------|----------------------|--------------------|
| 21,50 | 0,60 | 15,00 | 0,07 | 60,77 |
| 21,50 | 0,60 | 16,00 | 0,08 | 60,78 |
| 21,50 | 0,60 | 17,00 | 0,09 | 60,79 |
| 21,50 | 0,60 | 18,00 | 0,10 | 60,80 |
| 21,50 | 0,60 | 19,00 | 0,11 | 60,81 |
| 21,50 | 0,60 | 20,00 | 0,12 | 60,82 |
| 21,50 | 0,60 | 50,00 | 0,77 | 61,47 |

4.2. ESCOAMENTO PELA GALERIA DA DESCARGA DE FUNDO

para a Alternativa b, Escoamento Pela Descarga de fundo, Calculou-se as Cargas Hídricas Para as Mesmas Vazões Consideradas Anteriormente, que são apresentadas na Tabela 4.3

Tabela 4.2 – Escoamento pela galeria de descarga de fundo, na cota 52,50

| Dimensão | Área (m^2) | Cx | Vazão (m^3/s) | Carga Hidráulica (m) | Cota da Lâmina (m) |
|-------------|-----------------------|------|---------------------------------|----------------------|--------------------|
| 2,0 x 2,0 | 4,0 | 0,57 | 10,10 | 0,0 | 52,50 |
| 2,0 x 2,0 | 4,0 | 0,57 | 10,97 | 1,5 | 54,00 |
| 2,0 x 2,0 | 4,0 | 0,57 | 18,89 | 2,5 | 55,00 |
| 2,2 x 2,2 | 4,84 | 0,57 | 12,82 | 0 | 52,50 |
| 2,2 x 2,2 | 4,84 | 0,57 | 19,70 | 1,5 | 54,00 |
| 2,2 x 2,2 | 4,84 | 0,57 | 26,57 | 2,5 | 55,00 |
| 2,50 x 2,50 | 6,25 | 0,57 | 17,64 | 0 | 52,50 |
| 2,50 x 2,50 | 6,25 | 0,57 | 26,17 | 1,5 | 54,00 |
| 2,50 x 2,50 | 6,25 | 0,57 | 30,66 | 2,5 | 55,00 |

Uma verificação da situação sem carga hidráulica ($H = 0 \text{ m}$) foi realizada admitindo a galeria funcionando como um canal, baseando-se na condição de que a altura representativa da energia específica do fluxo crítico é igual a altura da galeria ($E_c = H$). Desta condição resultam as expressões:

$$h_c = 2/3 h$$

$$Q_c = 1,705 \cdot B \cdot H^{1/3}$$

$$V_c = 2,56 \sqrt{H}$$

$$I_c = 2,6 \frac{n^2}{H^{1/3}} \left(3 + \frac{4H}{B} \right)^{1/3}$$

h_c = tirante (altura da lâmina d'água) crítico (m)

H – altura do bueiro (m)

Q_c = vazão crítica (m^3/s)

B = largura do bueiro (m)

V_c – velocidade crítica (m/s)

I_c = declividade crítica (m/m)

N = coeficiente de rugosidade

Aplicando-se as expressões anteriores obteve-se

| Segundo | Vazão (m^3/s) | Velocidade de Crítica (m/s) | Declividade (m/m) |
|-------------|---------------------------------|---|-------------------------------------|
| 2,00 x 2,00 | 9,64 | | 3,62 |
| | | 4,05 | |

4.3 CONCLUSÕES

Admitindo-se que as galerias deveriam regularizar no mínimo $15 \text{ m}^3/\text{s}$, vazão atualmente regularizada pelo Açude Orós, observa-se que:

- Para utilização da galeria da tomada d'água existente o nível d'água no reservatório atingiria as cotas 60,98 e 60,77, para um duto ou dois respectivamente. Isto implica na construção da barragem de CCR no mínimo até a cota 60,77 e as enseadeiras na cota aproximadamente 65,50

- b) Com a galeria de descarga de fundo em seção 2,50 x 2,50 m, o nível d'água no reservatório chegaria a cota 55,00 o que acarretaria na construção da barragem de CCR, no mínimo, até a cota 55,00 e as ensecadeiras na 60,00.
- c) Desse confronto conclui-se que a galeria de fundo repercute numa grande economia de ensecadeiras e que necessita de volumes de CCR bem inferiores as previsões de produção da obra. Por isto parece muito mais interessante a adoção de uma galeria de fundo, com a barragem de CCR vertente na cota 57,00, que atente a vazão e encontra-se dentro da produção esperada de CCR.